



التحليل الهيدرولوجي وتقدير حجم السيول في حوض وادي الوطاة بمنطقة القصيم

أ. د. حمديته عبد القادر العوضى
قسم الجغرافيا – كلية اللغة العربية
والدراسات الاجتماعية
جامعة القصيم

د. أحمد عبد الله الدغيري
قسم الجغرافيا – كلية اللغة العربية
والدراسات الاجتماعية
جامعة القصيم



التحليل الهيدروموريومترى وتقدير حجم السيول في حوض وادي الوطاء بمنطقة القصيم

**أ.د. حمدينه عبد القادر العوضى
قسم الجغرافيا - كلية اللغة العربية
والدراسات الاجتماعية
جامعة القصيم**

**د. أحمد عبد الله الداخيرى
قسم الجغرافيا كلية اللغة العربية والدراسات
الاجتماعية
جامعة القصيم**

ملخص الدراسة :

تستقبل منطقة القصيم أمطاراً غزيرة في بعض السنوات، وتتشط على أثرها الأودية وتفيض بكامل طاقتها، وتشكل حينئذ خطرًا حقيقياً على العمران والطرق وبعض المنشآت التي تقع في طريقها، وبعد وادي الوطاء واحداً من أودية القصيم القادرة على تحويل الأمطار إلى سيول، وهذا ما تكرر حدوثه بالفعل في سنوات خلت، في وقت كان يصرف وادي الوطاء مياهه إلى وادي الرمة، غير أنه بات يشكل خطورة بعدما تعرض مجراه الأدنى لغزو رملي تحت تأثير فعل الرياح، وأغلق المجرى، كما أن النطاق العماني لمدينة بريدة اتسع في اتجاه الشمال والشرق وأصبح يشغل جزءاً من مجراه الوادي، وبالتالي فإن الدراسة الهيدروموريومترية لتقدير أحجام السيول التي يدفعها وادي الوطاء في أعقاب سقوط الأمطار باتت ضرورية للوقوف على مدى خطورته، وتمكن المسؤولين وأصحاب القرار من اتخاذ تدابير لتجنب المدينة هذه الأخطار، وبحث سبل الاستفادة بهذه المياه. واعتمدت هذه الدراسة على نموذج سنایدر Snyder's Model، وكذلك نموذج الهيئة الأمريكية لحماية التربة (SCS) في حساب قيم الهيدروجراف القياسي وتنسيقاته hydrographic ordinates في حساب متغيرات وقيم هيدروجراف السيول (هيدروجراف العاصفة) Storm hydrograph، بناء على البيانات الفعلية لأقصى كميات مطر يومية سجلتها محطة بريدة في مدة ٤٥ سنة (الفترة من ١٩٦٥ - ٢٠٠٩)، وبناء على أقصى كمية مطر يومية يتحمل سقوطها على الحوض في فترات الرجوع المختارة (٥، ١٠، ٢٥، ٥٠، ١٠٠ سنة) بفرض حساب أو تقدير أحجام المياه التي يدفعها الوادي عبر مخرج (مصبها) في هيئة سيول وأظهرت الدراسة أن تدفق الذروة في وادي الوطاء المحسوب بنموذج سنایدر (Snyder's Model) في فترات الرجوع المختارة (٥، ١٠، ٢٥، ٥٠، ١٠٠ سنة) يبلغ $3.26 \text{ م} / 3 \text{ الثانية}$ ، $38.56 \text{ م} / 3 \text{ الثانية}$ ، $166.58 \text{ م} / 3 \text{ الثانية}$ ، $231.67 \text{ م} / 3 \text{ الثانية}$ ، $560.04 \text{ م} / 3 \text{ الثانية}$ على التوالي، بينما يبلغ تدفق الذروة في وادي الوطاء المحسوب بنموذج الهيئة الأمريكية لخدمة صيانة التربة (SCS's Model) في فترات الرجوع المشار إليها $1.08 \text{ م} / 3 \text{ الثانية}$ ، $18.65 \text{ م} / 3 \text{ الثانية}$ ، $80.58 \text{ م} / 3 \text{ الثانية}$ ، $160.43 \text{ م} / 3 \text{ الثانية}$ ، $270.90 \text{ م} / 3 \text{ الثانية}$ على التوالي.

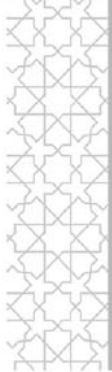
الكلمات المفتاحية : الهيدروموريومترى، القياسى، هيدروجراف العاصفة، خط تقسيم المياه، الدراسة المورفومترية، الدراسة الهيدرولوجية.



المقدمة :

تشكل الأحواض الصحراوية المغلقة في أواسط المملكة العربية السعودية ظاهرة جغرافية فريدة هي غاية في الأهمية، ذلك لأنها تمثل مجتمع مياه السيول وصرف الأودية، في بيئه هي أشد ما تكون شحيحة بموارها المائية الجاربة، فضلاً عن ماهيتها القديمة التي كانت تشكل نظام هيدرولوجيا غنية بموارد متعددة، ويشكل حوض وادي الوطاقة الواقع بمنطقة القصيم أحد نماذج تلك الأحواض التي شهدت في الآونة الأخيرة ثباتاً نماذجاً لحالات عمرانية عارمة، خاصة في حوضه الأدنى لكون بيته تحوي ثباتاً نماذجاً لحالات عمرانية وأراضٍ فلاحية تتحلق حول مجراه لم يراعي فيها صاحب القرار المنفذ ماهية الشبكة الهيدرولوجية وظروف المنطقة الجيومورفولوجية. تشير بعض الدراسات المنجزة والحوادث التاريخية أن هذا الوادي خلال أعوام سابقة شهد فيضانات عالية المستوى ، حلت بحوضه فقد شهد الحوض قبل 10.000 سنة فيضانً فجأياً عم حوضه بل أغلب جهات القصيم ، ودام فترات زمنية طويل بل لم يقتصر الأمر على ذك ، ففي فترة الهولوسين الجافة لم يخل الحوض من فيضانات كارثية فجائية موسمية ، فقد فاض في حوضه الأدنى وشهدت الأرضي شمال وشرق بريدة سيل عرم غمرت على أثره كثيراً من المنخفضات ، وفي الزمن العتيق تحديد عام ٢٠٠٨ شهد الحوض سيل عرم جرف فيها الوادي عدد من الأرضي الفلاحية وغمرها فيها عدد كبير من المساكن والطرق في القصيم وفي بريدة خاصة.

تهدف هذه الدراسة إلى ثبت الشبكة الهيدرولوجية في حوض وادي الوطاقة من خلال الماسح الراداري للتضاريس SRTM ، على جانب آخر



ستركز الدراسة على تحليل الخصائص المورفومترية للحوض ، بالإضافة إلى استخدام المعادلات والنمذج الرياضية كنموذج هيدروجراف السيول للعالم SCS Dimensionless Unit Hydrograph Snyder ونموذج Snyder في زمن تركيز و ذروة الدفق السيلي المناسب لنموذج Snyder ونموذج SCS في الحوض المذكور ، وذلك كمساهمة علمية فاعلة تقيد المخطط وتشري الدراسات الجيومورفولوجية و الهيدرولوجية في المملكة العربية السعودية وذلك للوقوف على إمكاناتها المائية ، وبحث سبل الاستفادة منها ، وحماية المنطقة من الأخطار السيلية.

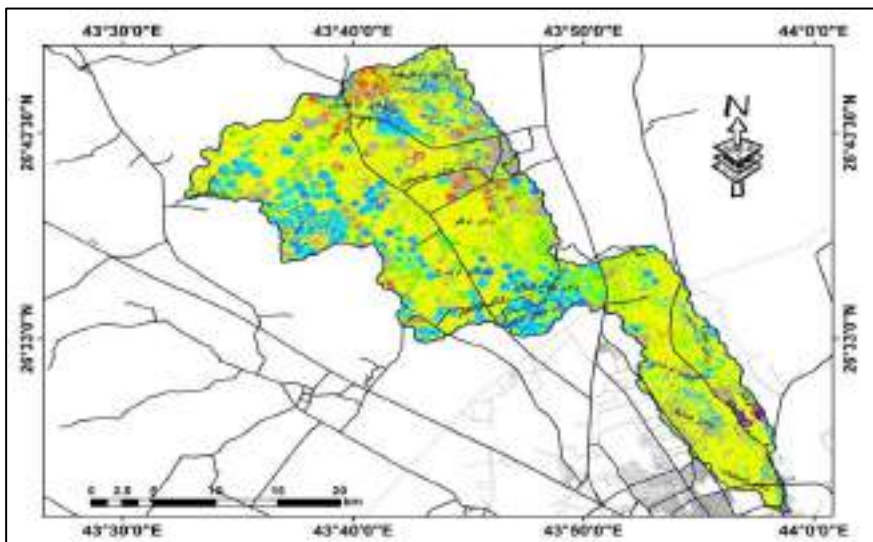
منطقة الدراسة

يقع حوض وادي الوطاء في النواحي الشمالية الشرقية من منطقة القصيم ، ش/ق بريدة ، ويشكل الميدان المدروس أنموذجًا فريداً لمنخفض صحراوي مورفوبنيوي متراوحاً بين الشمال للجنوب ، يتراوح عرضه بين ٨٠٠ إلى ٣٠٠٠ متر ، يحده شرقاً جرف الوطاء المنتمي لحقبة الحياة القديمة Paleozoic ، ويقطعه أحد أطول وأعظم أودية القصيم المعروفة باسم وادي الوطاء ، بطول يتجاوز ٦٥ كم ، وهو بهذا الطول يعد وادياً تالياً للسطح الانفصام البرمية الترباسية ، وينصرف إليه مجموعة كبيرة من الروافد الموافقة الثانوية وقليل من روافد عكسية . تبدأ منابعة بشبكة متعددة من مجاري وقنوات وشحاح مائية موسمية في الجهة الشرقية من الهضاب الكلسية المتعددة بالقرب من عيون الجواء ، وارتفاعات الوطاء ، في حين تنحدر أوديته الرافدة الغربية من رياض البستين وروضة أم قبر ، أم حزم ، طلاح الحماد ، أبا العشر و جباره ، تتسم قنوات الوادي في هذه الأجزاء بضيقها وكثرة ترافادها ، بعدها وعند خارة

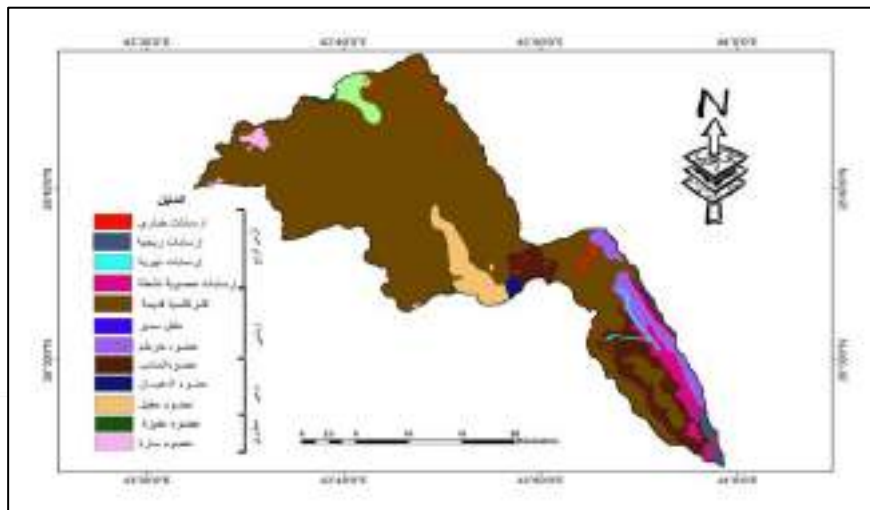
الوطاة ($40^{\circ} 32' 52''$ - $N 26^{\circ} 52' 54''$ - $E43^{\circ}$) يسيل الوادي وسط حوض متراوٍ يعرف باسم قاع الوطاة مشكلاً قناة جريان عظيمة تحفها سهول فيضية واسعة هي في الأغلب تعكس فترات جريان وفيضان الوادي خلال بعض من فترات البلايستوسين وأوائل الهولوسين كما أشار لذلك (Aldughairi,2011). بعدها ينحرف الوادي ناحية الجنوب الشرق حتى يندثر بفعل رمال نفود النقع شرقاً، وفي حين آخر تبترأجرائه الغربية بفعل المخططات العمرانية للأحياء الشمالية والشرقية لمدينة بريدة، وفي الأغلب فإن الوادي بعد هذه الرمال يبدأ يتزحزح ويتغير مجراه مشكلاً سطوهاً طينية (روضة المتنبات ، القاع البارد) تحصر بينها كثبان رملية طولية ، وفي هذه الأجزاء يلاحظ أن الوادي حاول أن يتصل الوادي بمصبه وادي الرمة ، إلا أن الجفافات العاتية والقديمة كانت بمثابة حاجلاً يمنعه في بعض الفترات الرطبة من مواصلة سيلانه ناحية مصبه المذكور (الدغيري ، ٢٠١٢). (الشكل رقم ١).

تألف الخصائص الصخرية في محيط الحوض من إرسابات حقب الحياة القديمة والمتوسطة والرابعية ، ففي أعلى ناحية المنابع تتكتشف في غربية إرسابات مجموعة بريدة العائد إلى العصر الكربوني Carbon فترة (جود لوبى Guadalupian) ، وهي إرسابات كلسية ودولomاتية تتخللها بقايا ونشار جذور وجزيريات وأشجار متحجرة بالإضافة إلى عقديات كلسية ، يليها شرقاً حزام متدد من الشمال ناحية الجنوب يتمثل بإرسابات عصر البرمي المتأخر والأوسط Late\Middle Permian وهي مندرجة ضمن مجموعة أكلاس بريدة التي تمثل بالأعضاء الصخرية التالية: عضو خرطم الكلسي الدومايتى الطيني بسمك يصل نحو ٤٢ متر في المكشف المثالى ، يليه عضو المذنب الطيني السلكى

والدولومايتى بسمك يصل نحو ٦٠ مترًا في المكافف المثالى ، ويعود لفترة (جودا
لوبى و ميسىسىبي Guadalupian to Mississippian) من فترة الatriasى
الاسفل. يليه شرقا عضو الدهيسان الدولومايتى بسمك يصل نحو ٢٨ مترًا ،
وتتضمن إرساباته أحافير تعود لفترة (جودا لوبى Guadalupian). وإلى الشرق
منه يظهر عضو حقيل الكلسي الأنهرىti والدولومايتى بسمك يصل نحو
٣٨ مترًا (Manivit et al., 1986) ، وفي أقصى الحواف الشرقية للحوض تظهر
إرسابات العصر الatriasى الأدنى Early Triassic والمتمثلة بتكون سدير
العائد لفترة السينين Scythian ، ويفلب عليه الطفل الا حمر المختلط
بروابس الجبس والكلس وكتل من الدولومايت ، ويحوى المتكون على بعض
أثار لمنخريات قاعية Foraminifera ، (الشكل ٢).



الشكل رقم ١ : الشكل والامتداد لخوض الوطاء وبعده المكانى عن
الطرق والامتداد المحالى لمدينة بريدة



الشكل رقم ٢ : خارطة جيولوجية لحوض وادي الوطاء، وتظهر خلالها مكاشف التكوينات الجيولوجية

ويسود في أجزاء واسعة من حوض وادي الوطاء إرسابات الزمن الرابع، وهي تمثل بكتابان طولية تتراوح ارتفاعاتها بين ٢٠ - ٥٠ متراً، بالإضافة لأوشحة رملية ونباك، وفي الحدود المجالية لمجرى وادي الوطاء تتد إرسابات نهرية طمية وسلبية أغلبها ترجع لفترة ١٠ آلاف سنة الماضية. ويتد في أغلب الأجزاء الشمالية والوسطي من الحوض قشر كلسية متصرخة، وهي قديمة جداً (الدغيري. ٢٠٣) (الشكل رقم ٢).

كما يسود في حوض وادي الوطأة نماذج متعددة من ترب قديمة، ففي وسطه وشماله وكذلك شرقه تظهر ترب طمية من نوع كالسي أورثيدز، في حين يمتد في هواضنه الغربية ترب من نوع كالسي أورثيدز حصوية، كما يحوي جنوبه على إرسابات ريحية تدرج ضمن تربة توري سامت.



الكساء النباتي في الحوض متنوع منه الحولي مثل الحواء *Launaea* ، البسباس *Anisosciadlunl isosciadium capitata* spp ، والتي يقتصر نموها وإزدهارها على فصل الربيع وتزداد كثرة في الخبراني والرياض الشمالية من الحوض ، النمط الآخر من الأغطية النباتية نمط النباتات الدائمة ، ومن أمثلتها الاشل *Tamarix Artculata* والطرفاء *Ziziphus procer aucheriana* والعشر *Calotopsis* والسدر *Acacia* والطلح على جانب آخر يسود في الحوض أراضٍ فلاحية عمل مستوطن الحوض على استصلاحها واستزراعها كمزارع للبرسيم أو النخيل وكذلك زراعة القمح خاصة في شماله ووسطه.

يندرج الحوض ضمن مناخ الأقاليم الصحراوية القاحلة ، ويخضع لمؤثرات الرياح الشمالية الجافة والتي يتحكم فيها بشكل رئيس من قبل أنظمة الضغط الجوي المرتفع الذي يتعرض له منطقة غرب آسيا ، الأمر الذي معه انعدم التهطل في أشهر الصيف (يونيو ويوليو وأغسطس) ، في حين قصر بعضاً منها على أشهر الشتاءً (ديسمبر ويناير وفبراير) بفعل تأثيرات البحر المتوسط الرطبة وكذلك فصل الربيع (مارس وأبريل) لكن التهطلات في الحوض إجمالاً هي ذات معدلات قليلة . و فيما يتعلق بالمعدل الحراري السنوي نجد أنه يصل إلى (30°M) صيفاً ، وينخفض حتى يصل إلى الصفر مئوي شتاءً.

* * *

منهج وتقنيات البحث

١- العمل الميداني :

لا تبدو الشبكة الميدرولوجية في حوض وادي الوطاة واضحة بكل معالمها، والظاهر منها شعاب ونواسع وشاحح في منابعة العليا، وقليل من تلك الاودية الموافقة الثانوية والهابطة ناحية المنخفض، أما بقية الأجزاء الجنوبيّة والغربيّة من الحوض فلا تجد أثر إلا ما ندر، فالтельمور كثير والمبتور أكثر، وهذا الطمر وذلك البتر كان إثر عاملين: الأول عامل الذرو الريحي الحديث إضافة لذرو الريحي خلال الدورة الجافة التي حلّت بالحوض إبان الجفاف خلال أواسط الهولوسين والذي شهدته القصيم بعامّة قبل ٥ ألّاف سنة (الدغيري ٢٠١١)، العامل الآخر هو العامل البشري والذي ما فتى فيه المستثمر عن الدفن بغرض الاستثمار الفلاحي أو التخطّط بغرض الاستثمار السكّني خاصّة وأنّ الحوض يقع في واجهة الامتداد العمراني لأكبر محلّة بالقصيم وهي بريدة. من هناء كان للعمل الميداني دور كبير في تحديد وثبت المجار والقنوات النهرية القديمة، فكان العمل على مراحلتين: الأولى كانت عام ٢٠٠٨ حيث تم فيها استقطاع عينات بحثية لتأريخ وتحديد جريان الوادي خلال فترة الهولوسين، المرحلة الثانية باتت ملحة بعد أن تبيّن للباحثان أن مجرى الوادي قد بدأ مطموساً في ما يكتنف مجرها من أراضٍ فلاحية ومنشآت سكنية، هناء قام الباحثان بحصر شامل لكل ما في الحوض وتم القيام بجولات لتحديد المسارات القديمة للقنوات النهرية البائدة وتم الاستعانة بالأنموذج الراداري SRTM ومنه تم تدقيق مسارات الأودية وحذف الغير مثبت وإضافة الموجود ميدانياً.

٢- تقنيات الاستشعار عن بعد :

عمدت الدراسة لاستخلاص الشبكة الهيدرولوجية لوادي الوطاء بواسطة تحليل أنموذج (SRTM) Shuttle Radar Topography Mission التابع لوكالة الفضاء ناسا لعام 2000، وهو ذي وضوح مكاني ٣٠ متر، ويسمح هذا الأنماذج للتضاريس الأرضية بواسطة ردار التضاريس المحلول على مكوك الفضاء إنديفور. تم تصحيح الأنماذج ومعالجتها واستخلاص الشبكة بواسطة المعادلات الهيدرولوجية المصاحبة لتطبيق ArcGIS والمتمثلة بـ (Toolbox) Spatial Analyst Tools- Hydrology). كما تم تصنیف الأودية بـ (Hydrology) اشتراک Strahler ، وتم ثبت حدود الخوض بناء على الأمر- (Hydrology) Watershed)، تم الاستفادة من المخططات الميكيلية المنجزة من قبل وزارة الشؤون البلدية والقروية والمتمثلة بالمخطط الحالي للعام ٢٠١٠ ، والمخطط الهيكلي للأعوام اللاحقة ٢٠٢٠ و ٢٠٥٠ ، وتم ربط الشبكة بالخوض واسقاطها على مخططات السكن ، الطرق ، الفلاحة ، بغية بناء تصور مستقبلي للنمو العمراني وال فلاحي ومدى تأثيرها بالفيضان المتوقع لتفادي خطرة وتجنیب المدينة ويلات القنوات النشطة ذات السيلانات الخطيرة.

٣- الخصائص المورفومترية لشبكة الصرف

تعمل وبشكل كبير على امكانية توقع الجريان السيلي ، وعليه فقد تم التحليل المورفومترى اعتمادا على بعض المؤشرات الرياضية ، فمساحة حوض وادي الوطاء ، ومساحات أحواض روافده الرئيسة استخلصت بواسطة تطبيق برمجي (ArcMap – ArcInfo. V. 10.1)، في حين تم حساب

معامل الاستدارة (معادلة رقم ١)، والاستطالة (معادلة رقم ٢)، وعامل الشكل (معادلة رقم ٣)، رياضيًّا باستخدام المعادلات المعتمدة:

- معامل الاستدارة : $(Miller, 1953) = \text{Circularity Ratio} = \frac{4\pi A}{P^2}$ (معادلة رقم ١)

حيث أن :

ثابت رياضي $(\pi = 3.14)$

(A) مساحة الحوض

(B) محيط الحوض

- معامل الاستطالة $(Re) = \frac{2\sqrt{A/b}}{L_h}$ Elongation Ratio (معادلة رقم ٢)

حيث أن :

L_h : الحد الأقصى لطول الحوض

- معامل الشكل $R_F = \frac{A}{L_b^2}$ (Form Factor Ratio) (Horton,1932) (معادلة رقم ٣)

فيما يتعلق بتضاريس الحوض فقد تم اعتماد عدد من المعاملات (معادلات ٦، ٥، ٤) التي تختبر ذلك وهي على النحو الآتي :

- التضاريس الكلية للحوض = $Z-z$ (Strahler,1952) (معادلة رقم ٤)

حيث أن

Z منسوب أعلى نقطة في الحوض. ، z منسوب أدنى نقطة في الحوض.

- نسبة التضاريس = H/L_b (Schumm,1956) (معادلة رقم ٥)

حيث أن :

- H: التضاريس الكلية للحوض ، Lb : أقصى طول للحوض بجزء المجرى الرئيسي.
- التضاريس النسبية = $H^* 100/p$ (معادلة رقم ٦) (Melton,1957) حيث أن: H: التضاريس الكلية للحوض ، P طول محيط الحوض (بالمتر).
 - درجة الوعورة = (التضاريس الكلية للحوض \times كثافة التصريف) \div طول محيط الحوض .
 - التكامل الهبسومترى ، لا توجد طريقة محددة في حسابه ، إنما أجما لا أفضل الطرق لحسابه يتم بقسمة نسبة الارتفاع على نسبة المساحة ، وعليه يتم تصميم منحنى التكامل بناء على هاتين النسبتين ، ويختسب التكامل أدنى المنحنى
 - نسبة التشعب Bifurcation Ratio : وتحسب وفقاً للمعادلة (٧) (معادلة رقم ٧) $(R_b) \frac{N\mu}{N\mu+1} = \text{Bifurcation Ratio}$ حيث أن :

R_b : هي نسبة التشعب ، $N\mu$: هي عدد المخاري في الرتب ، $N + 1$: عدد المخاري في الرتبة التي تليها عليه فإن حساب نسبة التشعب يتم من خلال قسمة أعداد المخاري في الرتبة على عدد المخاري في الرتبة التي تعلوها .

 - كثافة التصريف Drainage Density وتحسب وفقاً لمعادلة (٨) (معادلة رقم ٨) (Horton 1932) $/ A \frac{L_\mu}{Dd} = \text{Kadfaat التصريف}$

حيث أن :

Dd : هي كثافة التصريف ، $Lμ$: مجموع أطوال الأودية في كافة الرتب بالكيلومتر ، A مساحة حوض التصريف بالكيلومتر.

- تكرار التصريف النهري Drainage Frequency : يتم الحصول عليه من خلال المعادلة (٩)

$$(Horton . 1932) \quad (Fs) = Nμ / A \quad (معادلة رقم ٩)$$

حيث أن :

Fs : تكرار التصريف ، $Lμ$ العدد الكلي للمجاري النهرية في جميع الترب ، A : مساحة حوض التصريف (بالكيلومتر)

٤ - الدراسة الهيدرولوجية لوادي الوطا

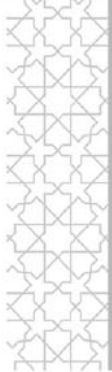
لإجراء دراسة هيدرولوجية تطبيقية لوادي الوطا ؛ تم استخدام نموذج "سنايدر" Snyder's Model ونموذج الهيئة الأمريكية لخدمة صيانة التربة Soil Conservation Service (SCS)

هي :

المرحلة الأولى : حساب المتغيرات الالزمة لإنشاء هيدروجراف قياسي Synthetic Unit Hydrograph باستخدام المعادلات والمعاملات الرياضية المخصصة لهذا الغرض في النماذجين المشار إليهما.

المرحلة الثانية : تصميم الهيدروجراف بناء على نتائج المعالجات الرياضية.

المرحلة الثالثة : تصميم هيدروجراف السيول (الجريان الفعلي)، واستخراج أحجام المياه التي يدفعها الوادي عبر مصبه في هيئة سيول ، وذلك



بناء على بيانات التهطلالات المطرية (أقصى كمية مطر سقطت في يوم واحد، المتوقع سقوطها في فترات الرجوع المختارة) والتي تم حسابها بالاستعانة بالبيانات التي سجلتها محطة بريدة في الفترة من ١٩٦٥ إلى ٢٠٠٩ م، أي خلال ٤٥ سنة.

المرحلة الرابعة: مرحلة تحليل ومناقشة النتائج.

المرحلة الخامسة: النتائج والتوصيات.

أولاً: حساب متغيرات الهيدروجراف القياسي

Development of Synthetic Unit Hydrograph

تم حساب متغيرات المخطط المائي (الهيدروجراف) لخوض وادي الوطاء باستخدام نموذج سنایدر، ونموذج الهيئة الأمريكية لخدمة صيانة التربة، وذلك على النحو الآتي :

١ - نموذج سنایدر Snyder's Model

استخدم هذا النموذج في حساب تصريف الذروة أو تصريف القمة Peak discharge ، زمن استجابة الخوض time lag ، بجانب متغيرات أخرى تستخدم في إنشاء الهيدروجراف (Ramirez, 2000 and Arora, 2004).

(١) - زمن الاستجابة^١ (Lag Time T_L) : يحسب من المعادلة الآتية :

(١) زمن استجابة الخوض lag time or basin lag : هو الفترة الزمنية الفاصلة بين ذروة هطول الأمطار، وقمة التصريف على هيدروجراف السيل (Viessman et al., 1989; Sule and Alabi, 2013)، ويتأثر زمن الاستجابة بما يتأثر به زمن التركيز Concentration time ويسيران في خطين متوازيين، فالأحواض المستطيلة هيئه الانحدار تكون استجابتها بطيئة، وزمن تركيزها طويل، على العكس من الأحواض المستديرة شديدة الانحدار التي لديها المقدرة على ترجمة مياه

$$T_L = C_T (L \times L_{ca})^{0.3} \quad (1)$$

حيث إن: T_L = زمن الاستجابة (بالساعات)، C_T = معامل يعبر عن بعض خصائص الحوض مثل الانحدار وسعة تخزين المياه، Slope and storage و تتراوح قيمته بين (١.٠ - ٢.٢)، واعتمدت الدراسة حالية على المتوسط (١.٦٠) على غرار العديد من الدراسات الهيدرولوجية التطبيقية (Arora, 2004; Salami, 2009; Sule and Alabi, 2013) من المصب حتى الحدود العليا للحوض (كم)، L_{ca} = طول المجرى الرئيس من المصب حتى نقطة تقترب من مركز الثقل الحوضي (كم).

(١-٢) - الفترة الزمنية للهيدروجراف (مدة العاصفة) - Unit- hydrograph duration (storm duration) (T_R) : تحسب من المعادلة الآتية:

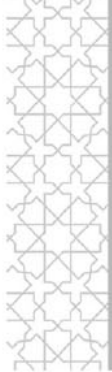
$$T_R = \left(\frac{T_L}{5.5} \right) \quad (2)$$

يستخدم ناتج هذه المعادلة في معايرة وضبط زمن استجابة الحوض الذي يتواافق مع الفترة الزمنية الفعلية التي تستغرقها العاصفة (فترة سقوط المطر) أو الفترات الزمنية التي يفترضها الباحث لسقوط المطر، وتقوم على أساسها الدراسة ، ويتم ضبط زمن الاستجابة وحسابه من المعادلة الآتية :

$$T_{L(adj)} = T_L + \left(\frac{\hat{T}_R - T_R}{4} \right) \quad (3)$$

حيث إن: $T_{L(adj)}$ = زمن الاستجابة المعدل ليوافق مدة العاصفة (مدة سقوط المطر) (بالساعات)، T_L = زمن الاستجابة (بالساعات) المحسوب من

الأمطار إلى سيول جارفة في وقت وجيز، وهنا تكمن أهمية دراسة الخصائص المورفومترية لحوض التصريف قبل الشروع في دراسته هيدرولوجيا.



المعادلة (رقم ١)، $T_R =$ المدة الزمنية الفعلية أو المقترنة للعاصفة (ساعة، ساعتان، ثلاثة ساعات)، $T_R =$ الفترة الزمنية المحسوبة من المعادلة (رقم ٢).

(١-٣) - قمة التصريف (الذروة) (Q_P) : تحسب

قمة التصريف للمنحنى الهيدروجرافي من المعادلة الآتية :

$$Q_P = \frac{2.78 \times C_p \times A}{T_{L(adj)}} \quad (4)$$

حيث إن : Q_P = ذروة أو قمة التصريف ($m^3/\text{ثانية}$) ، C_p = معامل الجريان ، وهو يعبر عن بعض خصائص الحوض ، وتتراوح قيمته بين (٠.٣ - ٠.٩٣) (Arora, 2004) ، A = مساحة الحوض (km^2) ، $T_{L(adj)}$ = زمن الاستجابة المعدل المحسوب من المعادلة (رقم ٣) (بالساعات).

(١-٤) - زمن الأساس (Base Time (T_{base})) : يحسب زمن الأساس للسائل أو زمن قاعدة الهيدروجراف من المعادلة الآتية :

$$T_{base} = 3 + 3 \left(\frac{T_{L(adj)}}{24} \right) \quad (5)$$

حيث إن : T_{base} = زمن الأساس (بالساعات) ، $T_{L(adj)}$ = زمن الاستجابة المحسوب بالمعادلة (رقم ٣) (بالساعات).

ولتصميم الهيدروجراف وضبط شكله ، فإن "سنایدر" قام بحساب نصف زمن الأساس (W_{50}) وثلاثة أرباعه (W_{75}) ، واستخدمهما في توقيع نصف حجم المياه في قمة التصريف (٥٠٪) وثلاثة أرباعه (٧٥٪) ، ويحسب نصف زمن الأساس وثلاثة أرباعه من المعادلتين الآتيتين :

$$W_{50} = \frac{5.9}{(q_p)^{1.08}} \quad (6)$$

$$W_{75} = \frac{3.4}{(q_p)^{1.08}} \quad (7)$$

حيث إن: W_{75} = نصف وثلاثة أرباع زمن الأساس على التوالى (بالساعات)، q_p = حجم التصريف المائى لكل كيلومتر مربع من الحوض (بالمتر المكعب/الثانية) ($m^3/s/km^2$)، ويحسب هذا الحجم من قسمة حجم المياه في قمة التصريف (Q_p) (ناتج المعادلة رقم ٤) على مساحة حوض التصريف (A).

ويوضح الجدول التالي (رقم ١) نتائج تطبيق المعادلات السابقة على حوض وادي الوطاء.

جدول (١) متغيرات هيدروجرافي حوض وادي الوطاء لعاصفة أو أمطار

مدىتها ١ ، ٢ ، ٣ ساعات (غودج سنایدر)

TR (hr)	$TL(adj)$ (hr)	QP m^3/s	qp $m^3/s/km^2$	$Tbase$ (hr)	$W50$ (hr)	$W75$ (hr)
1.00	18.37	52.03	0.094	5.30	75.84	43.70
2.00	19.37	49.34	0.089	5.42	80.45	46.36
3.00	20.37	46.92	0.083	5.56	86.75	49.99

٢- غودج الهيئة الأمريكية لخدمة وصيانة التربة

Soil Conservation Service (SCS) Model

تم تطبيق هذه الطريقة على حوض وادي الوطاء من خلال حساب حجم المياه في قمة التصريف Peak discharge ، وحساب زمن الوصول إلى قمة التصريف Time to peak بالاستعانة بأبرز الدراسات التطبيقية في هذا المجال (Viessman et al., 1989; SCS, 2002; Ogunlela and Kasali, 2002;

Viessman and Lewis, 2008; Salami, 2009; Sule and Alabi, 2013)

وذلك على النحو الآتي :

١ - حجم المياه في قمة التصريف Peak discharge : ويحسب من

$$Q_p = \frac{0.208 \times A \times Q_d}{T_p} \quad (8)$$

المعادلة الآتية :

حيث إن: Q_p = حجم المياه في قمة التصريف (م^٣/الثانية)، A = مساحة حوض التصريف (كم^٢)، Q_d = حجم الجريان السطحى (مم) ويحسب من المعادلة (رقم ٩)، T_p = زمن وصول السيل إلى قمة التصريف (ساعة) ويحسب من المعادلة (رقم ١٠) على النحو التالي.

$$Q_d = R_c \times H \quad (9)$$

حيث إن: R_c = معامل الجريان Runoff coefficient الذي يمثل كمية مياه الأمطار التي سوف تتحول إلى جريان سطحى حقيقي ، ولهذا تعكس قيمة هذا المعامل الخصائص الهيدرولوجية للتربة والصخور داخل الحوض من نفاذية وسعة امتصاص وتخزين المياه ، وتتراوح قيمة هذا المعامل بين ٠.١٠ - ٠.٣٠ وخصصت SCS القيمة ($R_c = 0.175$) لتربات المناطق الجافة ، وبصفة خاصة التربات التي اشتقت موادها من صخور الحجر الرملي والكلسي. أما المتغير الثاني في المعادلة هو H = متوسط أقصى كمية مطر سقطت في يوم واحد (مم) ، وهو ٢٥.٣٥ مم بحسب بيانات الأمطار التي سجلتها محطة بريدة في مدة ٤٥ سنة (١٩٦٥ - ٢٠٠٩).

٢ - زمن الوصول إلى قمة التصريف Time to Peak : ويحسب من

المعادلة الآتية :

$$T_p = \frac{T_c + 0.133T_c}{1.7} \quad (10)$$

حيث إن: T_p = زمن الوصول إلى قمة التصريف (ساعة)، T_c = زمن التركيز للحوض¹ (min) Time of concentration، ويحسب من المعادلة الآتية:

$$T_c = 0.0195 \left(\frac{L^{0.77}}{S^{-0.385}} \right) \quad (11)$$

حيث إن: L = طول المجرى الرئيس (المتر)، S = انحدار المجرى الرئيس (م/م)، ويحسب من المعادلة الآتية:

$$S = \frac{H_{max} - h_{min}}{d} \quad (12)$$

حيث إن: H_{max} = أقصى ارتفاع للمجرى الرئيس (المتر)، h_{min} = أدنى ارتفاع للمجرى الرئيس (المتر)، d = أقصى طول للمجرى الرئيس (المتر).

(1) زمن التركيز Concentration time: هو الفترة الزمنية التي تستغرقها مياه الأمطار في قطع المسافة ما بين خط تقسيم المياه في أقصى المنابع، ومصب الوادي أو مخرجه، ولهذا يعكس زمن التركيز سرعة الجريان المائي داخل الحوض (Viessman and Lewis, 2008; Wurbs and James, 2010; Sule and Alabi, 2013) ويتأثر زمن التركيز بالخصائص الشكلية والتضاريسية للحوض، فالأحواض المستطيلة منخفضة التضاريس، والتي تكتنفها قيعان ومنخفضات، وتتسم مجاريها بالانعطاف، فإن مياهها تستغرق وقتاً أطول في الوصول إلى المصب، ولهذا يكون زمن التركيز طويلاً، وبالتالي ترتفع نسبة الفاقد من المياه، وقد لا تشكل السيول التي تدفعها مثل هذه الأحواض خطورة حقيقة، بينما العكس بالعكس.

دراسات منجزة وأعمال سابقة

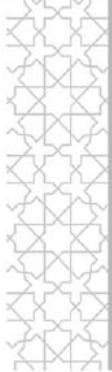
قام العوضي، حمدينه عبد القادر (٢٠٠٢) بدراسة المعونة بـ "أحواض التصريف بجحوض المدينة المنورة - المملكة العربية السعودية - دراسة جيومورفولوجية". بالتركيز على أربعة أحواض، هي: حوض وادي العقيق، وحوض وادي قناه، وحوض وادي النقمى، وحوض وادي العاقول، وعرض لميدرو جيولوجيتها، على جانب آخر ركز على دراسة مصاطبها من خلال أشكالها وخصائص إرسباتها النهرية، وقدرت نتائج هذه الدراسة إلى تغذية جريان عظيم وطويل عكس حالها القديم باعتبارها مجاري سالفة شبه دائمة، وهذا الاستنتاج يتواكب مع ما وصفه الدغيري ٢٠١١ في أن وادي الرمة في بعض مراحل البلاستوسين كان نهراً دائم الجريان، إضافة إلى أن وادي الوطاة شهد جرياناً دائماً أبان الهولوسين المبكر، عليه فمن المفترض أن سيلان أودية غرب المملكة ربما كان يتزامن مع ما يحدث من فيضانات وجرياناتها شهدتها أودية وسط الجزيرة العربية، خاصة أن هنالك إشارات تدعم أن تأثير الرياح الموسمية كان يطغى على المملكة بعامة إبان الرباعي المتأخر حسب إشارات Fletmann, et al., 2004. Aldughairi, 2011.

في دراسة مشتركة قام بوروبه والجعيدي (٢٠٠٧) بتقدير تدفق الذروة للسيول بجحوض وادي العين بمحافظة الخرج في المملكة العربية السعودية معتمداً على أنموذج سنايدر Snyder وبيانات المرئية الفضائية Spot-5، حيث وصل التدفق الأقصى بجحوض وادي العين نحو ($2649.3 \text{ م}^3/\text{ثانية}$) بينما وصل التدفق المتوسط ($303.7 \text{ م}^3/\text{ثانية}$) والأدنى ($74.3 \text{ م}^3/\text{ثانية}$). وعلى نفس النطاق قدر بوروبه (٢٠٠٧) دراسة قدر فيها حجم السيول في وادي عتود

وصلع في المملكة العربية السعودية باستخدام أنموج سنايدر Snyder ، ووصلت قيم تدفق الذروة الأقصى بين ١٣٥٤.٩ و ١٨٨٦.٥ م^٣/ثانية وقيم تدفق الذروة المتوسط بين ١٣٦.٤ و ١٨٥.١ م^٣/ثانية وقيم تدفق الذروة الأدنى بين ٣٦.١ و ٤٩.٨ م^٣/ثانية في حوضي عتود الأعلى ووادي ضلع على التوالي.

قدم البريدي ، تركي بن جار الله (١٤٣٣ هـ) دراسة عنونها ب : "التحليل المورفومترى وتقدير التدفق السيلى لشبكة التصريف المائي السطحي لحوض وادي العمارية". درس الباحث فيها الخصائص الجيولوجية والتضاريسية والترية في الحوض ، وكذلك خصائصه المناخية ، وعمدا إلى إجراء دراسة مورفومترية تحليلية للشبكة النهرية السائدة في الحوض ، على جانب آخر من الدراسة قام الباحث بحساب وتقدير التدفق السيلى ، معتمدا على عدد من النماذج في ذلك مكتته من حساب أقصى وأدنى دفق مائي أثناء حدوث السيول ، قادت نتائج الدراسة إلى إن هنالك فروقات في احجام التدفق السيلى من حوض لأخر فوصلت قيم التدفق السيلى في حوض العمارية بين m^{3/sec} ١٠٤.٩٣٩ بالنسبة لفترة رجوع خمس سنوات ، ونحو m^{3/sec} ١٨٠.١٠٨ بالنسبة لفترة رجوع ١٠٠ سنة.

فيما يتعلق بالحالة البيئي القديمة لأودية وسط المملكة قدم الدغيري ، أحمد بن عبدالله (٢٠١١) بحثا عن "التغيرات البيئية الرباعية ببريدة" افرد في دراسة جزء تناول فيها الفيضانات القديمة لوادي الوطاء ، وقادت نتائج دراسته إلى تبيان فيضان عم حوض الوطاء قبل ما يقارب ١٠ ألف سنة ، حيث كان الحوض يستقبل الامداد المائي من هضاب شمال غرب القصيم والتي كانت



تستقطب المؤثرات الموسمية الرطبة آنذاك ، على جانب آخر وفي أواسط الـهولوسين أو صحت الدراسة جفاف وضعف تدريجي في جريان وادي الوطاء حيث عم الجفاف وتغيرت الـأوضاع البيئية واصبح الوادي أقرب لما يكون بقناة وحلية مستنقعية ، في الوقت نفسه أدلـف الدغـيري قائلاً في مبحث آخر تناول فيه "أدلة فيضان وادي الرمة بإقليم القصيم خلال الهولوسين" إن الفيضانات التي شهدـها وادي الرمة تزامـن وقتـاً وزمنـاً مع فيضـانـات وادي الوطـاء وفي معرض آخر أشار الدـغـيري والـوهـيـي ، ٢٠١٦ أن فيـضـانـات عـارـمة شـهـدـها حـوضـ وـادـيـ النـسـاءـ بـغـربـ القـصـيمـ هيـ قـرـيـةـ الشـبـةـ منـ تـلـكـ الـجـاـوـرـةـ لهاـ فيـ قـاعـ الـقـتـلـاـ حـيثـ مـصـبـ وـادـيـ النـسـاءـ ،ـ وـعلـىـ جـانـبـ أـخـرـ مـنـ الـدـرـاسـةـ قـاماـ الـبـاحـثـانـ بـسـاقـاطـ المـخـطـطـاتـ الـهـيـكـلـيـةـ لـمـديـنـةـ الرـسـ وـمـحـلـةـ دـخـنـةـ بـحـوضـ وـادـيـ النـسـاءـ عـلـىـ الشـبـكـةـ الـقـدـيـةـ لـوـادـيـ النـسـاءـ وـأـسـفـرـتـ النـتـائـجـ إـلـىـ أـنـ المـخـطـطـ وـالـمـسـتـشـمـرـ لـاـ يـرـاعـيـ مـجـارـيـ وـحرـمـ أـوـدـيـةـ حـوضـ النـسـاءـ.

الدراسة المورفومترية لـحـوضـ وـادـيـ الـوطـاءـ

أولاًً : الخـصـائـصـ الـمـسـاحـيـةـ وـالـشـكـلـيـةـ

تأتي الخـصـائـصـ الـمـسـاحـيـةـ وـالـشـكـلـيـةـ لـأـحـواـضـ التـصـرـيفـ انـعـكـاسـاـ للـخـصـائـصـ الـجـيـوـلـوـجـيـةـ (ـالـلـيـثـوـلـوـجـيـةـ وـالـبـيـنـيـوـيـةـ)ـ لـلـصـخـورـ فـيـ تـلـكـ الـأـحـواـضـ،ـ وـكـذـلـكـ خـصـائـصـ شبـكـاتـ التـصـرـيفـ،ـ وـالـظـرـوفـ الـمـنـاخـيـةـ وـبـصـفـةـ خـاصـةـ المـنـاخـ الـقـدـيـمـ الـتـيـ توـالـتـ أحـدـاثـ عـلـيـهـاـ،ـ وـيـكـنـ الـاعـتـمـادـ عـلـىـ تـلـكـ الـخـصـائـصـ فـيـ قـراءـةـ التـطـورـ الـجـيـوـمـورـفـولـوـجـيـ لـأـحـواـضـ التـصـرـيفـ،ـ ذـلـكـ لـأـنـهـاـ تعـكـسـ المـراـحلـ الـتـيـ قـطـعـتـهاـ الـأـوـدـيـةـ فـيـ دـوـرـتـهاـ التـحـاتـيـةـ،ـ وـلـهـذـاـ يـرـىـ "ـاشـتـرـالـرـ

"أن الأحواض المائية التي تتشابه في خصائصها الشكلية يغلب عليها التشابه في خصائصها الجيومورفولوجية (Strahler, 1957, p. 292)."

ويبيّن الجدول (رقم ٢) الخصائص المساحية والشكلية لحوض وادي الوطاء، ومنه يتضح الآتي :

١ - تبلغ مساحة حوض وادي الوطاء 554.50 كم^2 ، وغالباً ما تأتي الخصائص المورفومترية للحوض والخصائص الهيدرولوجية لشبكة التصريف في علاقة طردية مع مساحة الحوض، ولهذا تعتبر مساحة الحوض متغيراً له أهميته في إنشاء المخطط المائي (الميدروجراف) في جميع النماذج النظرية والتطبيقية على السواء.

(جدول ٢) الخصائص الجيومترية (المساحة – الأبعاد – معاملات الشكل)

لحوظ وادي الوطاء

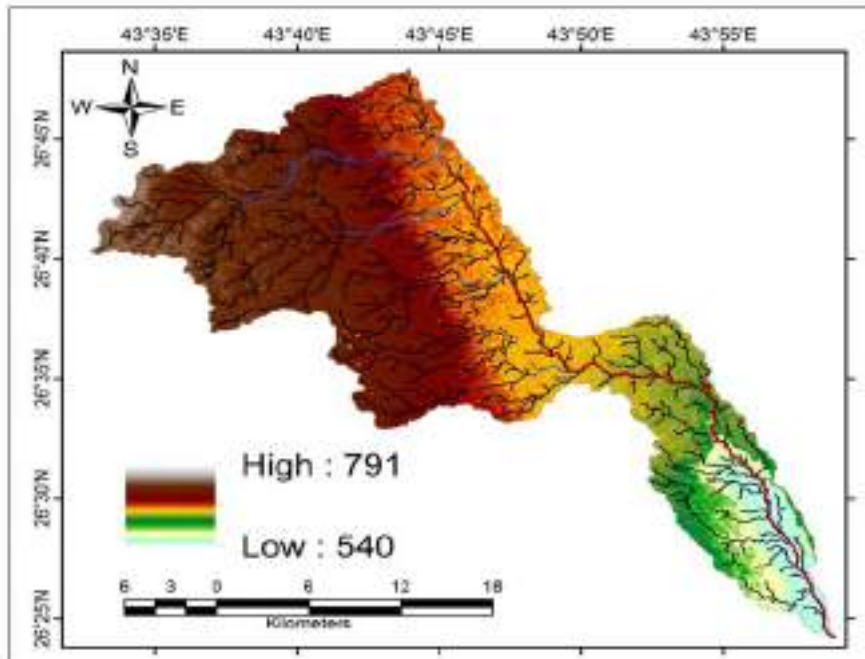
عامل الشكل	شكل الحوض	أبعاد الحوض (كم)					المساحة (كم) ٢
		الاستدارة	الاستدارة	المحيط	م. العرض	الطول	
٠,٢١		٠,٢٦	٠,٢٢	١٧٦,٥	١٠,٨٧	٥١	٥٥٤,٥٠

٢ - جاءت أبعاد حوض وادي الوطاء انعكاساً لمساحته، حيث يبلغ طول الحوض 51 كم ، بينما يبلغ متوسط عرضه (A/L_b) 10.87 كم ، ويبلغ محيطه 176.5 كم ، وربما تشير أبعاد الحوض إلى أنه لم يقطع شوطاً كبيراً في دورته التحتائية، وربما يؤكّد هذه النتيجة تكامله الهيسيومترى.

٣ - تبلغ نسبة الاستدارة Circularity Ratio لحوض وادي الوطاء 0.22 ، وتشير هذه النسبة إلى أن هذا الحوض منخفض الاستدارة ، وهذا ما تظهره في الواقع خريطة الحوض (شكل رقم ٣).

٤ - سجل حوض وادي الوطاء نسبة استطالة Elongation Ratio بلغت ٠.٢٦ مما يعني أن الحوض يتجه بشكل كبير نحو الاستطالة، وهو بالفعل طولي الشكل (الخريطة شكل ٣) وربما هذا ما دعا "مارى موريساوا" (Morisawa, 1985, p. 151) إلى القول بأن نسبة الاستطالة التي ابتكرها "شوم (1956) تعد أفضل المقاييس للحكم على شكل حوض التصريف (تميل أحواض التصريف إلى الشكل الطولي إذا انخفضت نسب استطالتها ، وذلك بعكس الاستدارة ، فالأحواض المستديرة أو القريبة من الشكل الدائري ترتفع نسب استدارتها) ، ويبدو أن الحوض اكتسب خصائصه الشكلية تحت تأثير العوامل البنوية وبصفة خاصة الصدوع التي تكتنف الصخور وتمتد على محاور شمالية جنوبية.

شكل (٣) خصائص الشكل لحوض وادي الوطاء



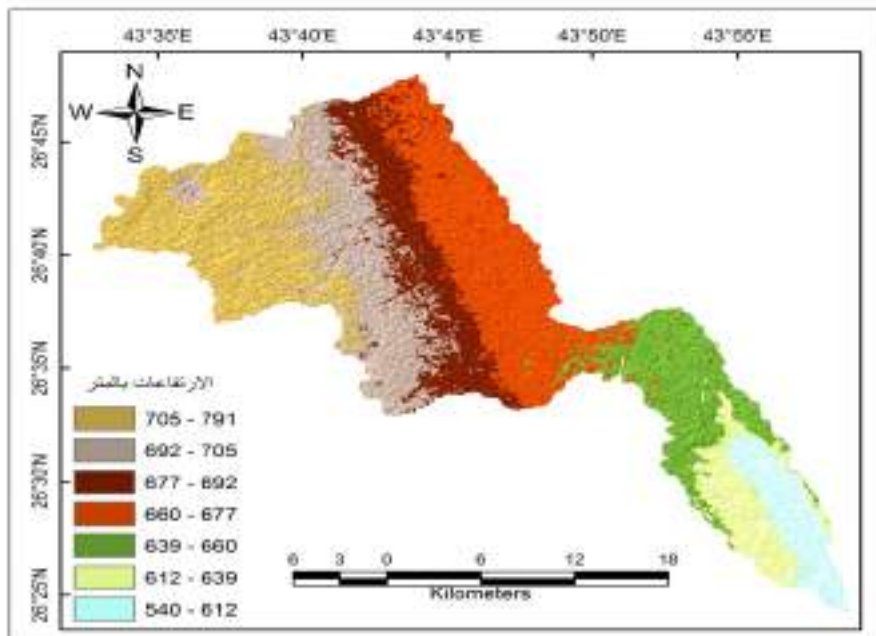
وتجدر الإشارة إلى أن نسبتي الاستدارة والاستطالة يعدان مؤشرًا أوليًّا لفهم طبيعة الجريان النهري في أحواض التصريف، فالأحواض منخفضة الاستدارة عالية الاستطالة (ومنها حوض الوطاء) لا تشكل خطورة حقيقة في أعقاب سقوط أمطار عادية، وفي حال سقوط أمطار العواصف التي تعد أهم حدث مناخي في البيئات الجافة، تكون أقل خطورة بالمقارنة بأحواض أخرى عالية الاستدارة منخفضة الاستطالة لها نفس الخصائص الجيولوجية؛ ذلك لأن جريان المياه يستغرق وقتاً أطول داخل الأحواض منخفضة الاستدارة عالية الاستطالة حتى يصل إلى مخارج أوديتها الرئيسة، وبالتالي فإن جزءاً كبيراً من المياه يفقد بالتسرب وعن طريق التبخر تحت تأثير عامل الوقت، بينما يصل الجزء المتبقى من المياه على سطح الأرض داخل الأحواض – إن قدر له الوصول – إلى مخارج أوديتها وهو ضعيف الجريان محدود الحجم والطاقة.

ثانياً: الخصائص التضاريسية Relief Characteristics

تعكس خصائص تضاريس الأحواض المراحل التي قطعتها أوديتها في دورتها التحتائية، كما تساعد في تقدير كمية المادة الصخرية التي ما تزال داخل أحواضها وتنتظر دورها في النحت والنقل، وعلى جانب آخر، يعد الجريان السطحي انعكاساً لخصائص السطح داخل أحواض التصريف، حيث إن سرعة الجريان المائي Runoff Velocity، وزمن الاستجابة Lag Time، وزمن التركيز Concentration Time لحوض التصريف متغيرات وثيقة الصلة بالخصائص التضاريسية لتلك الأحواض، وبصفة خاصة انحدار المجرى المائي وأراضي ما بين الأودية، ويتحدد - بناء عليها - طبيعة الجريان المائي وكميته، وشكل هيدروجراف السيول الحالية. ويبيّن الشكل (رقم ٤)، والجدول (رقم ٢) خصائص تضاريس حوض وادي الوطاء، ومنه يتضح الآتي :

- ١- تبلغ التضاريس الكلية Total Basin Relief لحوض وادي الوطاء ٢٥١ م، وهو الفرق بين أدنى منسوب في الحوض (٤٥٠ م) وأعلى منسوب في منطقة المتابع العليا (٧٩١ م).
- ٢- تبلغ نسبة التضاريس Relief Ratio لحوض وادي الوطاء ٣.٥٥ م/كم، بينما تبلغ التضاريس النسبية Relative Relief ١٤ م/كم، ويتبين من بيانات الجدول (رقم ٣) أن زيادة التضاريس الكلية لأحواض الروافد يقابلها نقص في تضاريسها النسبية ، وأن العلاقة الارتباطية بينهما تأتي بالضرورة عكسية ودالة.
- ٣- يبلغ رقم الوعورة Ruggedness Number في حوض وادي الوطاء ٤.٧٤ ورغم أن رقم الوعورة يسير في خط متواز مع التضاريس النسبية ، فإن العلاقة بين الوعورة والتضاريس الكلية غالباً ما تأتي عكسية ، بينما تأتي طردية بين الوعورة والتضاريس النسبية.

شكل ٤: تضاريس حوض وادي الوطاء



(جدول ٣) خصائص تضاريس حوض وادي الوطاء

أدنى منسوب (م)	أعلى منسوب (م)	التضاريس الكلية (م)	نسبة التضاريس (م/كم)	التضاريس النسبية (م/كم)	رقم الوعورة
٥٤٠	٧٩١	٢٥١	٣,٥٥	٠,١٤	٤,٧٤

٤ - يبلغ التكامل الهيسومترى Hypsometric Integral لحوض وادي الوطاء ٦٤٪ (الشكل ٥)، ويعنى هذا أن الوادي قطع نحو ٣٦٪ فقط من دورته التحتائية، أي أنه أزال ما يربو على ثلث المادة الصخرية من حوضه، والمحوض بهذه النتيجة بات متوازناً، أو على الأقل القطاع الأدنى منه، حيث يرى "اشترالر" أن أحواض الأودية تصبح متوازنة إذا بلغ تكاملها ٦٠٪ (Strahler, 1957, pp. 279- 300)، بينما يرى "ريتز وزملاوه" أن تكامل أحواض التصريف الطبيعية يتراوح بين ٢٠٪ - ٨٠٪، وأن القيم المرتفعة تشير إلى وجود مناطق واسعة داخل الحوض لما تتحدد وتتحول إلى منحدرات (Ritter et al., 1995, p. 155)

ويتصف حوض وادي الوطاء بكثرة الكتل الصخرية المتبقية أو المنعزلة، ورغم ذلك جاء تكامله مرتفعاً على عكس ما يعتقد "اشترالر" في أن كثرة الكتل المنعزلة داخل أحواض التصريف تعد مؤشراً على انخفاض تكاملها، وأنها مرحلة انتقالية يعاود بعدها التكامل ارتفاعه (آمال إسماعيل شاور، ١٩٨٢، ص ٤٩)، ويبدو أن السبب في ارتفاع تكامل هذا الحوض هو شدة تضرسه ووعورته وتقابض خطوط الكنتور وتزاحمتها في قطاعيه الأوسط والأعلى، ولهذا يصبح التقدم في الدورة الجيومورفولوجية أمر مرهون بتحفيض مناسب سطح الأرض في القطاع الأوسط ومنطقة المتابع، وهذا

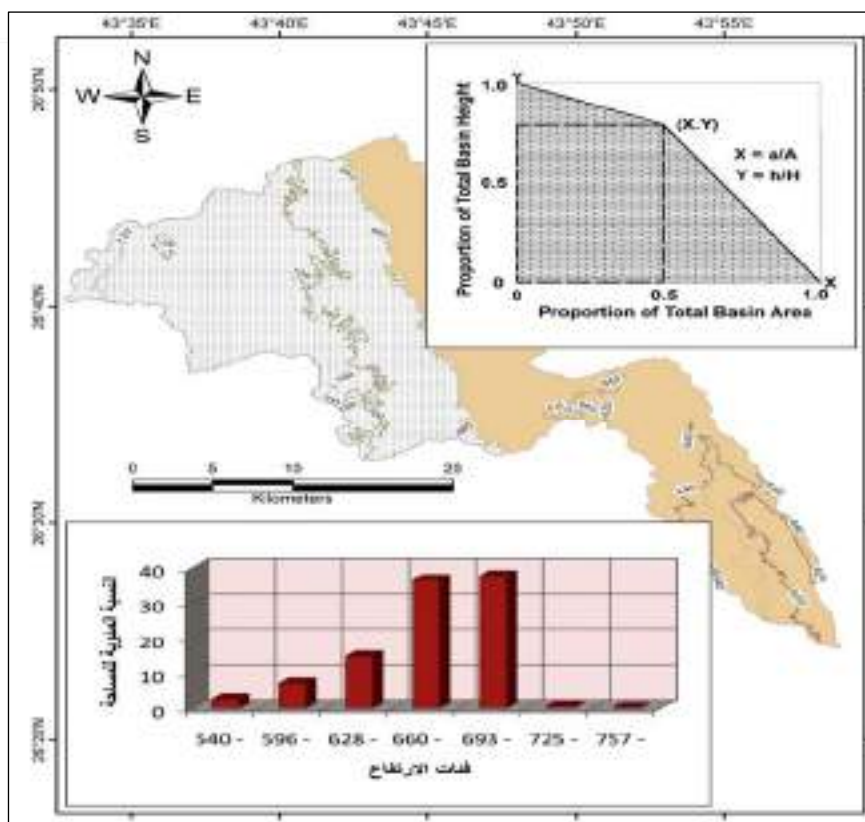
بالطبع مستعصياً عليه وعلى الأودية أمثاله في البيئات الجافة ولن يتحقق في ظل ظروف المناخ القاحل في زماننا المعيش.

وتجدر الإشارة إلى أن وادي الوطاء يصب وينتهي عند نقطة تقع على منسوب ٥٤٠ متراً فوق مستوى سطح البحر حيث مخفضات النبع، ولهذا يجب الوضع في الاعتبار أن التكامل هنا نسبي وليس تكاملاً مطلقاً، تقتصر أهميته على مقارنة حوض وادي الوطاء بأحواض أخرى ماثلة لها نفس الخصائص، وكذلك وضع أحواض روافده في مقارنة مع بعضها لمعرفة المتقدم منها في دورته التحتائية والتأخر، أما الحكم على هذا الوادي وغيره من الأودية الجافة التي لم تنتهي إلى بحار مفتوحة ولا إلى أحواض ومنخفضات تقع في مستواها، بل تقع مخارجها (مصباتها) فوق مستوى سطح البحر، فإن الحكم عليها بأنها بلغت، على سبيل المثال، مرحلة النضج أو الشيخوخة، على نحو ما ذهب إليه بعض الباحث وطلاب التخصص، أمر به قدر كبير من المبالغة وعدم موضوعية، فضلاً عن تجاهله للضوابط والمعايير الواجب توافرها عند إطلاق تلك الأحكام، وأظهرت الدراسات التي أجريت على أحواض الأودية في شبه الجزيرة العربية أن نسب تكاملها جاءت متفاوتة (جدول ٤)، وقد يعزى اختلاف تلك النسب إلى تفاوت الخصائص الجيولوجية والمورفومترية لهذه الأحواض، وربما أيضاً الظروف المناخية البائدة والسائلة في زماننا المعيش، وكذلك الخصائص التضاريسية، حيث أشار "كوك وورن" إلى أن التكامل المبسوط يعد أهم المقاييس في الكشف عن حقيقة العلاقة المورفومترية بين تضاريس أحواض التصريف (Cooke and Warren, 1975, p. 155)

جدول (٤) مقارنة نسب تكامل بعض

أحواض التصريف في شبه الجزيرة العربية

الباحث	التكامل (%)	الموقع	الخوض
العوضي، حمديه: الدغيري، أحمد (الدراسة الحالية)	٦٤	القصيم	وادي الوطاء
الدغيري، أحمد: العوضي، حمديه (١٤٣٣هـ)	٦٤,٢	القصيم	وادي السهل
بوروية، محمد (٢٠٠٧)	٤١	خميس مشيط	وادي عتود
سلامة، حسن رمضان (١٩٨٠)	٨٦,١ - ٨٦,٨	الأردن	أحواض مائة



شكل (٥) الخريطة الكتورية لخوض وادي الوطاء، وتكامله الهيسيومترى
المصدر من إنجاز الباحثان بالاعتماد على الأنماذج الراداري SRTM

ثالثاً: خصائص شبكة التصريف

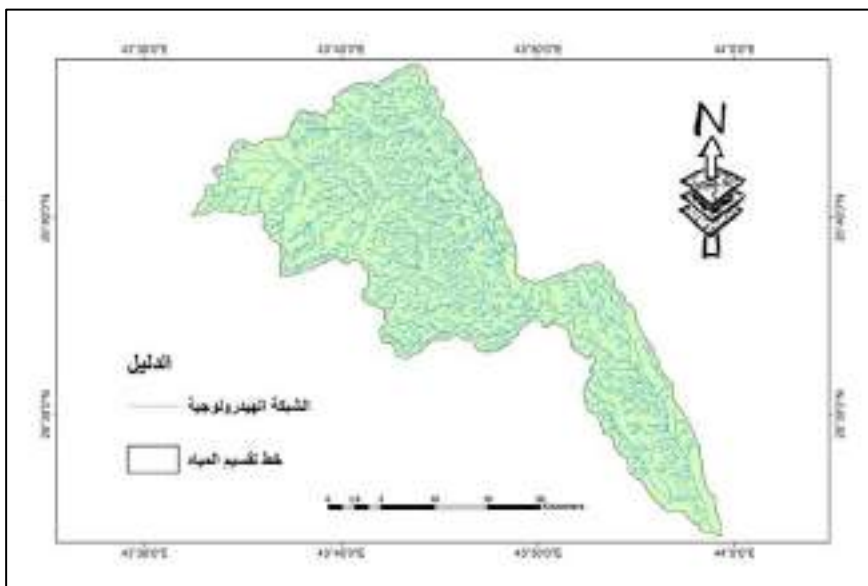
بلغ وادي الوطاء الرتبة السادسة بحسب تصنيف "اشترالر" لشبكات التصريف، بينما وصلت خمسة روافد إلى الرتبة الخامسة، وتعد تلك الروافد - تحديداً - حجر زاوية في تطور شبكة التصريف، ولهذا يتوقف عليها زمن الاستجابة للحوض، ويوضح من خريطة شبكة التصريف (شكل رقم ٦)، المدونين رقمي (٥ و ٦) الآتي:

١- رتب المجاري المائية Channel Orders

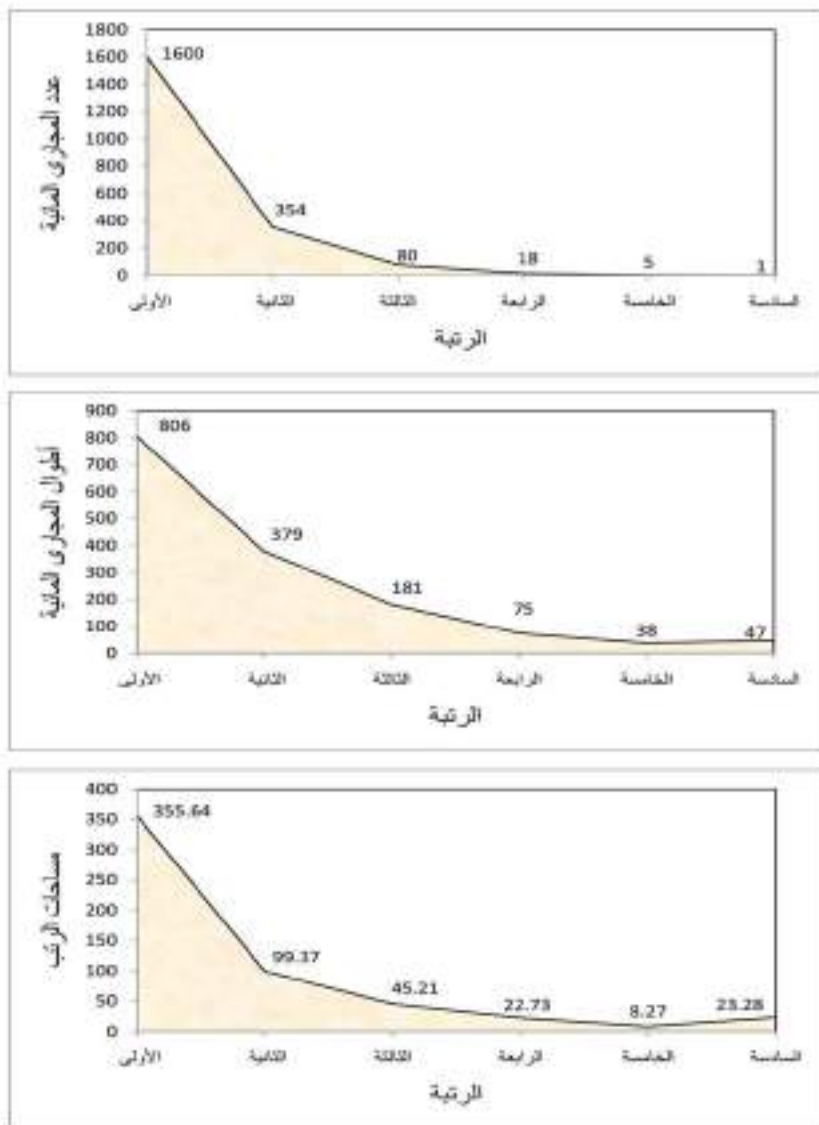
(١) - تتفوق مجاري الرتبة الأولى من حيث العدد على مجاري الرتب الأخرى مجتمعة، حيث بلغت نسبتها ٧٧,٧٥٪، وتليها مجاري الرتبة الثانية بنسبة بلغت ١٧,٢٠٪ من عدد المجاري المائية في مختلف الرتب (شكل ٦)، وكلما ارتفعت الرتبة تناقص عدد مجاريها، أي أن العلاقة عكسية بين الرتبة وعدد المجاري (شكل رقم ٧).

(٢) تبلغ أطوال مجاري الرتبة الأولى ٥٢,٨٢٪ من مجموع أطوال المجاري في مختلف الرتب، وتليها الرتبة الثانية (٢٤,٨٤٪)، وكلما تقدمت الرتبة تناقصت أطوال مجاريها، بينما تزداد الأطوال الفعلية للمجاري مع ارتفاع الرتبة.

شكل (٦) خريطة شبكة التصريف لوادي الوطا



المصدر من إنجاز الباحثين بالاعتماد على الأنموذج الراداري SRTM



شكل (٧) علاقـة الرتبـة بـعدـدـ المجـاريـ وأـطـوالـهاـ وـمسـاحـاتـهاـ
عـلـىـ مـسـتـوىـ الرـتـبـ فيـ حـوـضـ وـادـيـ الـوطـاـةـ

(١) - ٣) - يبلغ متوسط طول المجرى في الرتبة الأولى ٠,٥٠ كم، بينما يصل متوسط طول المجرى إلى ٧,٥٠ كم في الرتبة الخامسة، وبالتالي فإن تناقص عدد المجاري مع تقدم الرتبة يقابلها زيادة في طول المجرى (شكل رقم .٧).

جدول (٥) خصائص شبكة المجاري المائية بجوض وادي الوطاء

الرتبة	عدد المجاري	أطوال المجاري (كم)	متوسط طول المجرى (كم)	مساحة الرتبة (كم²)	متوسط المساحة (كم²)
الأولى	١٦٠٠	٨٠٦	٠,٥٠	٣٥٥,٦٤	٠,٢٢
الثانية	٣٥٤	٣٧٩	١,٠٧	٩٩,٣٧	٠,٢٨
الثالثة	٨٠	١٨١	٢,٢٦	٤٥,٢١	٠,٥٧
الرابعة	١٨	٧٥	٤,١٧	٢٢,٧٣	١,٢٦
الخامسة	٥	٣٨	٧,٥٠	٨,٢٧	١,٦٥
السادسة	١	٤٧	٤٧,٦	٢٢,٢٨	٢٣,٢٨
المجموع	٢٠٥٨	١٥٢٦	-	٥٥٤,٥٠	-

(١) - ٤) - تستأثر الرتبة الأولى بنحو ٦٤,١٤٪ من مساحة الحوض، وتليها الرتبة الثانية بنسبة مساحة تبلغ ١٧,٩٢٪، وكلما تقدمت الرتبة تناقصت نسبة المساحة التي تشغله مجاريها داخل الحوض بالمقارنة بما تشغله مجاري الرتب الأدنى من مساحات، هذا على الرغم من أن متوسط المساحة التي يشغلها مجاري الرتبة الأولى تبلغ ٠,٢٢ كم²، بينما يبلغ متوسط مساحة المجرى في الرتبة الخامسة ١,٦٥ كم²، ويعنى هذا أنه بالاتجاه نحو الرتب الأعلى ؛ تتناقص المساحات على مستوى الرتب، بينما تزداد على مستوى المجاري المائية في كل رتبة (شكل رقم ٧).

٢ - نسبة التشعب Bifurcation Ratio

تتراوح نسب التشعب على مستوى الرتب في حوض وادي الوطاء بين ٣.٦ - ٥.٠ راًفـد، بمتوسط تشعب عام يبلغ ٤.٣٨ راًفـد (جدول ٥)، وهنا نلمس زيادة في نسب التشعب على مستوى الرتب وعلى مستوى الحوض ككل عند وضع تلك النسب في مقارنة مع نسب تشعب حوض وادي السهل الذي يقع في إقليم القصيم إلى الشرق من حوض وادي الوطاء على مسافة قريبة منها (الدغيري، والعوضى، ١٤٣٣ هـ)، وقد يقتصر الاختلاف بين الحوضين على الخصائص الشكلية، فحوض وادي الوطاء ينأى عن الاستدارة ويعيل نحو الاستطالة بالمقارنة بحوض وادي السهل، وبالفعل أشار سعد وآخرون (Saad, et al., 1980, p. 822) إلى أن نسبة التشعب تعد دالة للشكل الهندسي لحوض التصريف، فالأحواض التي تسجل نسب تشعب عالية تمثل إلى الشكل الطولي ، وعليه تستغرق المياه وقتاً طويلاً حتى تصل إلى مخارج وديانها ، أما الأحواض منخفضة التشعب ؛ فتميل إلى الشكل الدائري أو القريب منه ، وتتمكن شبكاتها من نقل المياه من منابعها إلى مخارج وديانها في وقت قصير، وبناءً على ما أشار إليه "سعد وآخرون" فإن جريان وادي الوطاء قد لا يشكل خطورة حقيقة حال سقوط الأمطار العادمة على حوضه.

ولا شك في أن نسبة التشعب فضلاً عن تأثيرها بالظروف المناخية البائدة والسائلة في الوقت الحاضر، فإن تطورها مرهون بتأثير الخصائص الليثولوجية والبنيوية للصخور في الحوض، رغم ما أشار إليه هورتون (Horton, 1932) من أن نسبة التشعب تنحصر بين ٣ - ٥ عندما لا تكون لبنيـة الصخور تأثير قوى على أحواض التصريف .(Gregory and Walling, 1973, p. 54).

جدول (٦) بعض الخصائص المورفومترية لشبكة تصريف وادي الوطاء

الرتبة	نسبة التشعب	كثافة التصريف (كم/كم²)	تكرار المجرى (رافد/كم²)
الأولى	٤,٥	٢,٢٧	٤,٥٠
الثانية	٤,٤	٣,٨١	٣,٥٦
الثالثة	٤,٤	٤,٠٠	١,٧٧
الرابعة	٣,٦	٣,٣٠	٠,٧٩
الخامسة	٥,٠	٤,٥٩	٠,٦٠
السادسة		٢,٠٢	٠,٠٤
المتوسط	٤,٣٨	٣,٣٣	١,٨٨

٣ - كثافة التصريف Drainage Density

تأتي كثافة التصريف في مقدمة المقاييس التي تصف النظامين المورفومترى والمورفولوجي لأحواض التصريف ، وتعكس طبيعة العلاقة بين عدد من المتغيرات أseمت بأدوار متباعدة في رسم ملامح هذين النظامين ومن أبرزها: الظروف المناخية القديمة والسائلة في الزمن المعيش ، خاصة كمية التهاطل المطري من حيث فصليتها ونظام سقوطها وقيمتها الفعلية ، والخصائص الجيومترية لسطح الأرض داخل حوض التصريف التي يتوقف عليها نشاط شبكته ، وتقف جيولوجية الصخور والتكتونيات نوعاً وبنية قاسماً مشتركاً بين تلك المتغيرات ، فضلاً عن تأثير عوامل أخرى كالنبات ونوع التربة والشوط الذى قطعه أحواض التصريف في دورتها التحتائية ويعرض الجدول (رقم ٦) كثافة تصريف حوض وادي الوطاء ومنه يتضح الآتى :

(٣-١) - تراوح كثافة التصريف على مستوى الرتب في حوض وادي الوطاء بين $٢,٠٢ - ٤,٥٩$ كم/كم² ، بمتوسط عام بلغ $٣,٣٣$ كم/كم² وهى بشكل عام كثافة منخفضة رغم ندرة الكسae النباتي الطبيعي ، كما أنها تعكس خشونة النسيج الطبوغرافي داخل الحوض ، حيث أشار "اشترالر"

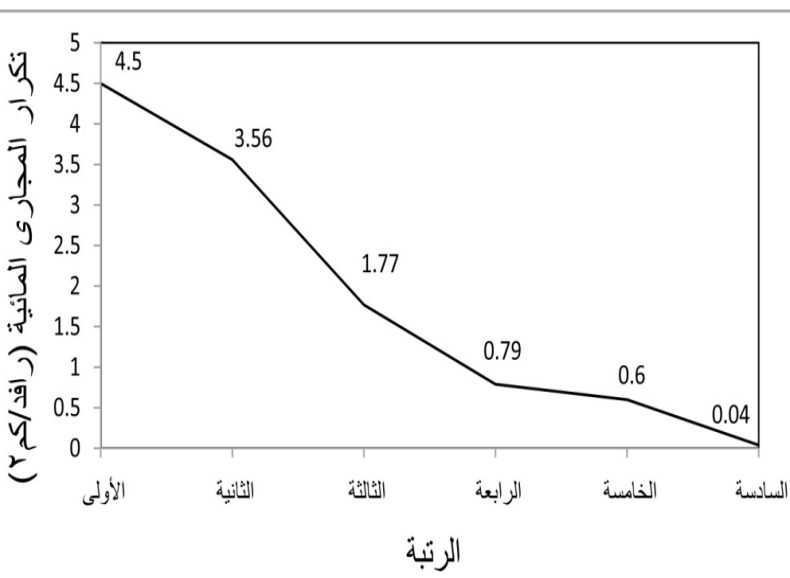
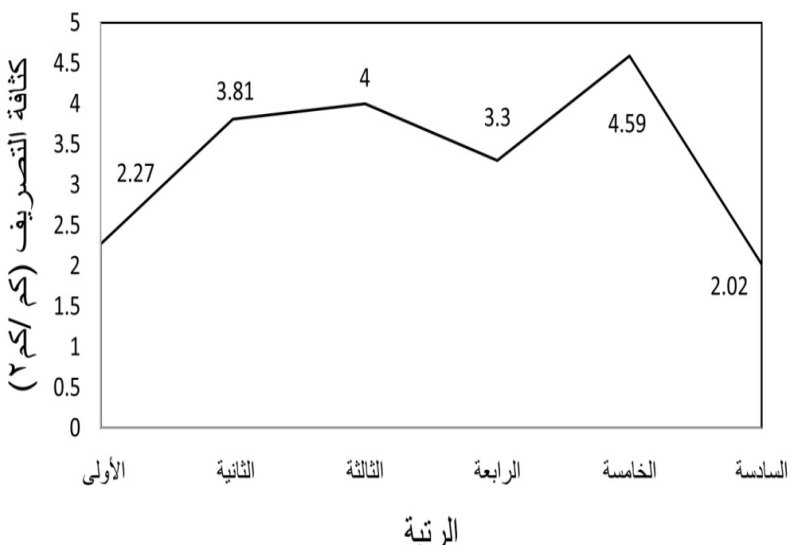
(Strahler, 1957, p. 32) إلى أن أحواض التصريف تكون خشنة النسيج إذا انخفضت كثافات تصريفها عن $5 \text{ كم}/\text{كم}^2$ ، وأرجع ذلك إلى شدة نفاذية الصخور وقلة التهطلالات المطرية التي تسقط على أحواضها، واتفق معه بحاث آخرون منهم جريجورى ووالنج (Gregory and Walling, 1973, p. 45)، (Howard, 1967, p. 2246)، غير أن مارى موريسawa (Morisawa, 1985, p. 140) أشارت إلى أن أحواض التصريف تكون خشنة النسيج إذا انخفضت كثافة التصريف عن $8 \text{ كم}/\text{كم}^2$ ، وعلى أية حال ففي الحالتين يوصف حوض وادي الوطاء بالانخفاض كثافة تصريفه وخشونة نسيجه الطبوغرافي.

ومن المعلوم بالضرورة أن كثافة التصريف تكون منخفضة في بدايات دورة التعرية، ثم ترتفع في متتصفها، غير أنها تعود وتنخفض ثانية في نهاية الدورة، والانخفاض كثافة تصريف حوض وادي الوطاء يتبع الانخفاض الأول، وهذا ما أظهرته دراسة خصائص المساحة والشكل، ودراسة خصائص تضاريس الحوض وتكامله الهيسموري.

(٢) - بناءً على دراسات أخرى مماثلة يبدو أن جيولوجية الصخور في حوض وادي الوطاء كانت سبباً في انخفاض كثافة تصريفه، حيث تدرج صخور الحوض ضمن مجموعة أكلاس بريدة (راجع الشكل ٢)، وأشار كوك وورن (Cooke and Warren, 1975, p.151) إلى أن كثافة التصريف تنخفض بشدة في الأحواض التي تجري أوديتها على صخور عالية النفاذية والتسلب مثل الحجر الكلسي أو الصخور البركانية الحامضية.

وفي دراسة لهما عن الشكل والعملية في أحواض التصريف أكد جريجوري ووالنج (Gregory and Walling, 1973, p. 46) نفس النتيجة بقولهما إن كثافة التصريف تنخفض بشكل كبير في الأحواض التي تجرى أوديتها على صخور عالية النفاذية، واتفق معهما بحاث كثيرون منهم ريتروزملاؤه (Ritter et al., 1995, p. 153) (Small, Hails, 1977, p. 123)، واصمول وهيلز (Hails, 1989, pp. 47-49) حيث أشار عند دراسته لأحواض التصريف التي تجرى أوديتها في أراضي الطباشير الإنجليزي English Chalk Lands إلى أن كثافة التصريف انخفضت إلى أقل من $1 \text{ كم}^2/\text{كم}$ رغم أنه أدخل الغدران الموسمية Seasonal Bournes في حساب الكثافة، وأرجع انخفاض كثافة التصريف إلى ارتفاع معدلات النفاذية في الصخور الطباشيرية، وبناءً على ما تقدم فمن المتوقع أن تكون صخور الحجر الكلسي أحد أسباب انخفاض كثافة التصريف حوض وادي الوطاة بشكل عام، ولو صح هذا التوقع، يمكن القول أن نسبة كبيرة من مياه الأمطار التي تسقط على حوض وادي الوطاة تتسرّب عبر الصخور والتكونيات وتتحول إلى حساب المياه الجوفية القريبة من السطح حيث خزان متكون خف.

شكل (٨) علاقة الرتبة بكثافة التصريف و تكرار المجاري



٤- تكرار المجرى Drainage Frequency

يتراوح تكرار مجاري الأودية في حوض وادي الوطاء بين ٤٠٠٤ - ٤٥٠ راfeld/كم^٣ ، بمتوسط عام يبلغ ١.٨٨ راfeld/كم^٣ (جدول رقم ٥) ، ويتبين من ذلك أن تكرار التصريف في حوض وادي الوطاء انخفض عن تكرار التصريف على مستوى الرتب وعن المتوسط العام ، ويرجع ذلك إلى نفس الأسباب التي أدت إلى انخفاض كثافة التصريف في حوض الوادي الرئيس عن كثافات تصريف الرتب الأدنى منه وأيضاً عن المتوسط العام ، فعادة ما يسير تكرار التصريف في نفس اتجاه كثافة التصريف .

ومن الملاحظ ، زيادة تكرار مجاري الرتب الدنيا ، ونقص تكرارها في الرتب العليا ، وقد يرجع السبب في ذلك إلى زيادة عدد الروافد وقصر أطوالها في الوحدة المساحية داخل الحوض ككل ، بينما يقل عدد الروافد ويزداد أطوالها في نفس الوحدة المساحية المماثلة داخل أحواض الروافد ، وفي ذلك إشارة إلى أن قيم تكرار التصريف تنخفض في الأحواض التي قطعت شوطاً متقدماً في دورة التعرية ، وقدرت على أثره نسبة من رصيدها الصخري ، بينما يرتفع تكرار التصريف في الأحواض التي مازالت في مرحلة متأخرة في دورتها التحتائية .

٢- الدراسة الهيدرولوجية لحوض وادي الوطاء

أولاً : تصميم هيدروجراف حوض وادي الوطاء

تم استخدام نموذج سنايدر Snyder's Model في حساب المتغيرات الازمة لتصميم هيدروجراف وادي الوطاء ، بناء على القياسات التي أجريت على نموذج الارتفاع الرقمي للحوض SRTM-30m باستخدام برنامج Arc Map 10.1 GIS وبالاستعانة بزمن الأساس المعدل (TL(adj) المتافق مع زمن عاصفة (ساعة ، وساعتين ، وثلاث ساعات) ، وكذلك قمة التصريف (Qp) بالجدول (رقم) ، تم حساب زمن الأساس (T(hr) للهيدروجراف ، وحجم التصريف (Q m³/s) لمدة عاصفة ساعة وساعتين وثلاث ساعات (الجدول أرقام ٧،٨،٩) ، (والأشكال أرقام ٩ و ١٠) .

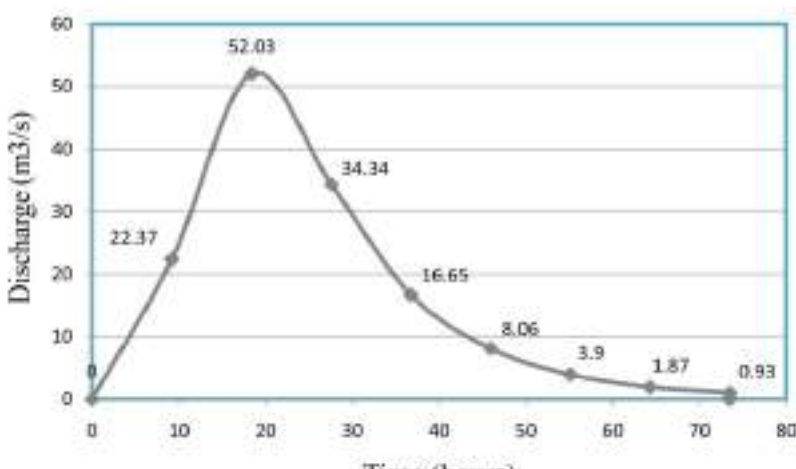
كما استخدم أيضاً نموذج الهيئة الأمريكية لصيانة التربة SCS's Model في إنشاء هيدروجراف الحوض، اعتماداً على متغيرين أساسين هما: حجم المياه في قمة التصريف Peak Discharge ، وזמן الوصول إلى القمة Time to Peak (الجدول رقم ١٠ ، والشكل رقم ١٠).

جدول (٧) زمن الأساس وحجم التصريف لميدروجرافي حوض وادي الوطاء بنموذج سنайдر (الأمطار ساعة واحدة)

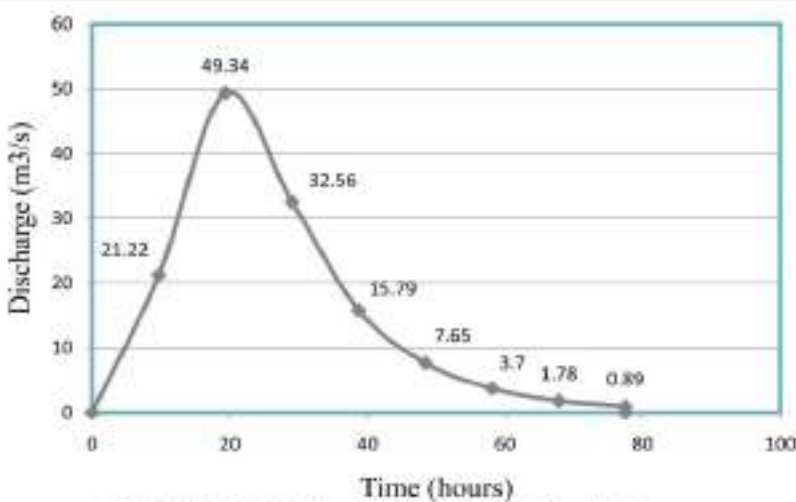
SCS T/T_p	زمن الأساس $T(hr)$	SCS $q qp$	حجم التصريف $Q(m^3/s)$
0	0	0	0
0.5	٩,١٩	0.43	٢٢,٣٧
1.0	١٨,٣٧	1.0	٥٢,٠٣
1.5	٢٧,٥٦	0.66	٣٤,٣٤
2.0	٣٦,٧٤	0.32	١٦,٦٥
2.5	٤٥,٩٣	0.155	٨,٠٦
3.0	٥٥,١١	0.075	٣,٩٠
3.5	٦٤,٣٠	0.036	١,٨٧
4.0	٧٣,٤٨	0.018	٠,٩٣

جدول (٨) زمن الأساس وحجم التصريف لميدروجرافي حوض وادي الوطاء بنموذج سنайдر (الأمطار ساعتين)

SCS T/T_p	زمن الأساس $T(hr)$	SCS $q qp$	حجم التصريف $Q(m^3/s)$
0	0	0	0
0.5	9.69	0.43	21.22
1.0	19.37	1.0	49.34
1.5	29.06	0.66	32.56
2.0	38.74	0.32	15.79
2.5	48.43	0.155	7.65
3.0	58.11	0.075	3.70
3.5	67.80	0.036	1.78
4.0	77.48	0.018	0.89



(A) 1-hr Unit Hydrograph (Snyder's Method)



شكل (٩) الهيدروجراف القياسي لعاصفة مدتها ساعة وساعتين (بطريقة سنايدر) لخوض وادي الوطاة

جدول (٩) زمن الأساس وحجم التصريف لهيدروجرافي حوض

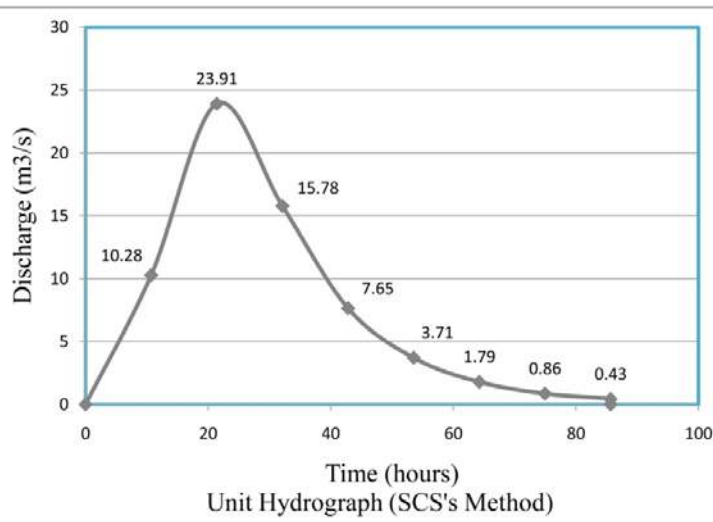
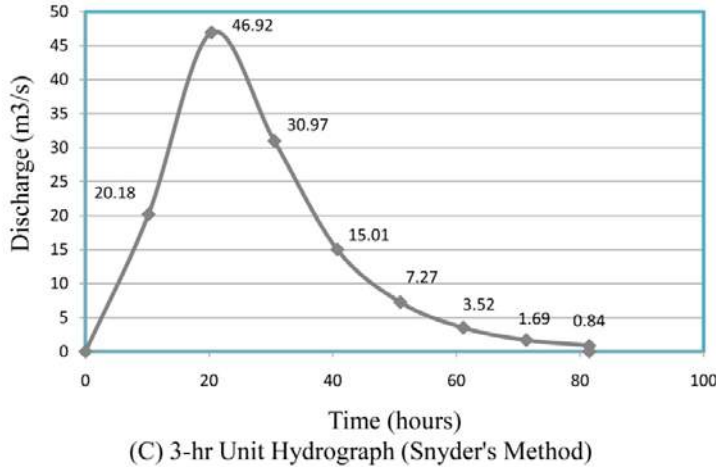
وادي الوطاء بنموذج سنایدر (الأمطار ثلاث ساعات)

SCS T/T_p	زمن الأساس $T(hr)$	SCS q/qp	حجم التصريف $Q(m^3/s)$
0	0	0	0
0.5	10.19	0.43	20.18
1.0	20.37	1.0	46.92
1.5	30.56	0.66	30.97
2.0	40.74	0.32	15.01
2.5	50.93	0.155	7.27
3.0	61.11	0.075	3.53
3.5	71.30	0.036	1.79
4.0	81.48	0.018	0.84

جدول (١٠) زمن الأساس وحجم التصريف لهيدروجرافي حوض

وادي الوطاء بطريقة الهيئة الأمريكية لصيانة التربة (SCS)

SCS T/T_p	زمن الأساس $T(hr)$	SCS q/qp	حجم التصريف $Q(m^3/s)$
0	0	0	0
0.5	10.71	0.43	10.28
1.0	21.42	1.0	23.91
1.5	32.13	0.66	15.78
2.0	42.84	0.32	7.65
2.5	53.55	0.155	3.71
3.0	64.26	0.075	1.79
3.5	74.97	0.036	0.86
4.0	85.68	0.018	0.43



شكل (١٠) الهيدروجراف القياسي ل العاصفي مدتها ثلاثة ساعات (بطريقة سنایدر)، وهیدروجراف قیاسی (بطريقة SCS) لخوض وادی الوطاء

ثانياً : تصميم هيدروجراف السيول (العاصفة)

Development of Storm Hydrographs

تم استخدام قيم الهيدروجراف القياسي وتنسيقاته Unit hydrographic ordinates في حساب متغيرات وقيم هيدروجراف السيول (هيدروجراف العاصفة) Storm hydrograph ، بناء على البيانات الفعلية لأقصى كميات مطر يومية سجلتها محطة بريدة في مدة ٤٥ سنة (الفترة من ١٩٦٥ - ٢٠٠٩) ، وبناء على أقصى كمية مطر يومية يحتمل سقوطها على الحوض في فترات الرجوع المختارة (٥ ، ١٠ ، ٢٥ ، ٥٠ ، ١٠٠ سنة) بغض النظر عن حساب أو تقدير أحجام المياه التي يدفعها الوادي عبر مخرج (مصب) في هيئة سيول ، ولإنجاز هذا العمل تم اتباع الخطوات الآتية :

- تمت الاستعانة ببيانات أقصى كمية مطر يومية لفترات رجوع مختارة (الجدول رقم ١١). Return Periods

جدول (١١) أقصى أمطار يومية لفترات رجوع مختارة

(أمانة منطقة القصيم ، ١٤٣٣هـ - ٢٠١٢م)

فترات الرجوع (بالسنين)	أقصى أمطار يومية (مم)
١٠٠	٥٠
٧٧	٦٥

- معلوم بالضرورة أن الأمطار التي تسقط على الحوض لا تصل كلها إلى مخرجها ، وإنما يُفقد منها جزء كبير عن طريق التبخر والتسلب في التربة والتكوينات السطحية والصخور ، فضلاً عن أن القيعان والمنخفضات تستأثر بجزء من هذه المياه ، ولا تفيض منها المياه سوى بعد امتلاءها بشكل كامل ، ولهذا تهتم الدراسات الهيدرولوجية التطبيقية بحساب الفاقد باختلاف أشكاله

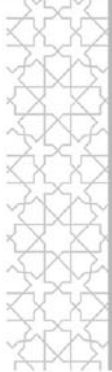
من كميات الأمطار التي تسقط على الحوض ، قبل الشروع في تقدير الحجم الفعلى للسيول التي تصل إلى مخرج الوادي .

والحقيقة أن (1972) SCS اخترت ٨٥٠٠ مجموعة من التربات على مستوى العالم ، وقسمتها إلى أربع مجموعات هيدرولوجية Hydrologic groups بناء على طاقة الرشح والتسرب (A, B, C, and D) ، وعلى جانب آخر ، أجريت دراسة ميدانية للتربة في حوض وادي الوطا ، وأظهرت تلك الدراسة أن تربة الحوض تتسم بخصائص تربات المجموعة الأولى (A) ، وهي مجموعة التربات الصحراوية خشنة القوام عالية النفاذية ، التي تتسم بطاقة جريان منخفضة Low Runoff Potential ، ولهذا تدرج تحت المنحنى رقم ٦٣ (CN= 63) Curve Number وعلى هذا الأساس تم حساب الفاقد من مياه الأمطار التي يستقبلها الحوض قبل حدوث جريان سطحي (الخطوة التالية) .

- ٣ - حساب نسبة الفاقد من مياه الأمطار عن طريق التسرب والتبخر والتخزين داخل القيعان والمنخفضات التي تكتنف سطح الأرض داخل الحوض ، ويطلق على هذا الفاقد Initial Abstraction (IA) ، ويحسب من المعادلة الآتية :

$$I_a = 0.2 \times S \quad (13) \quad \text{where} \quad S = \frac{25400}{CN} - 254 \quad (14)$$

وبالتطبيق على الحوض موضوع الدراسة اتضح أن المتغير $S = 149.17$ مم ، ولهذا فإن $IA = 29.83$ مم ، ويعنى هذا أن أية كمية مطر تسقط في يوم واحد تساوى أو تقل عن ٢٩.٨٣ مم لن ينتج عنها جريان سطحي في حوض



وادي الوطاء، وكذلك أحواض الأودية في منطقة القصيم، وربما أيضاً أحواض معظم الأودية الكبرى في المملكة العربية السعودية.

- ٤ - استقطاع نسبة الفاقد من كميات الأمطار اليومية المتوقع سقوطها في فترات الرجوع المختارة (جدول) باستخدام المعادلة الآتية :

$$Q_d = \frac{(P^* - I_a)^2}{P^* + (0.8 \times S)} \quad \text{For } P^* > 0.2 \times S \quad (15)$$

$$Q_d = 0 \quad \text{for } P^* \leq 0.2 \times S \quad (16)$$

حيث إن : Q_d = كمية المياه المتبقية (مم) التي تشكل جرياناً سطحياً حقيقياً داخل الخوض، P^* = أقصى كمية مطر يومية (مم) محتمل سقوطها في كل فترة من فترات الرجوع على حدة، I_a = حجم الفاقد من مياه الأمطار (مم)، S = معامل يعبر عن أقصى طاقة لاحتفاظ التربة بالمياه، أي أنه دالة لخصائص التربات وسطح الأرض داخل الخوض (تبلغ قيمته في منطقة الدراسة ١٤٩.١٧ مم).

- ٥ - حساب الجريان السطحي المباشر، وأحجام التصريف المائي في فترات الرجوع المختارة عن طريق عملية Hydrograph Convolution بالاعتماد على متغيرين أساسيين هما : قيم التصريف على الهيدروجراف Rainfall Ordinates (U_n)، والحجم المتبقى من مياه الأمطار Rainfall Excess (P_i) (بعد استقطاع نسبة الفاقد)، وأجرى هذا التطبيق على المنحنى الهيدروغرافي الذي تم تصديمه باستخدام نموذجي Snyder and SCS، وعن طريق المعادلين التاليين رقمي (١٧، ١٨)، وتوضح الجداول أرقام طرق (١٢/١٣/١٤/١٥/١٦) والأشكال أرقام (١١/١٢) نتائج التطبيق.

$$Q_n = \sum_{i=1}^n P_i U_i - i + 1 \quad (17)$$

$$Q_n = P_n U_1 + P_{n-1} U_2 + \dots + P_1 U_j \quad (18)$$

حيث إن: Q_n = الجريان السطحي المباشر Runoff ، P_i = الحجم المتبقي من مياه الأمطار بعد استقطاع نسبة الفاقد U_s Excess Rainfall ، U_i ordinates هي القيم الهيدروجراف القياسية حيث $i = n-j+1$. ويوضح الجدول التالي (رقم ١٢) طريقة التطبيق.

جدول (١٢)

Time interval (hr)	Excess Rainfall (mm)	Unit Hydrograph Ordinates								Total Direct Runoff (m³/s)
		1	2	3	4	5	6	7	8	
		U1	U2	U3	U4	U5	U6	U7	U8	
N= 1	P1	P1 U1								P1U1
2	P2	P2 U1	P1 U2							P2U1+P1U2
3	P3	P3 U1	P2 U2	P1 U3						P3U1+P2U2+P1U3
4	P4	P4 U1	P3 U2	P2 U3	P1 U4					P4U1+P3U2+P2U3+P1U4
5	P5	P5 U1	P4 U2	P3 U3	P2 U4	P1 U5				P5U1+P4U2+P3U3+P2U4+P1U5
6			P5 U2	P4 U3	P3 U4	P2 U5	P1 U6			P5U2+P4U3+P3U4+P2U5+P1U6
7				P5 U3	P4 U4	P3 U5	P2 U6	P1 U7		P5U3+P4U4+P3U5+P2U6+P1U7
8					P5 U4	P4 U5	P3 U6	P2 U7	P1 U8	P5U4+P4U5+P3U6+P2U7+P1U8
9						P5	P4	P3	P2	P5U5+P4U6+P3

Time interval (hr)	Excess Rainfall (mm)	Unit Hydrograph Ordinates								Total Direct Runoff (m ³ /s)
		1	2	3	4	5	6	7	8	
	U1	U2	U3	U4	U5	U6	U7	U8		
					U5	U6	U7	U8	U7+P2U8	
10						P5 U6	P4 U7	P3 U8	P5U6+P4U7+P3 U8	
11							P5 U7	P4 U8	P5U7+ P4U8	
12								P5 U8	P5U8	

جدول ١٣ (ساعة)

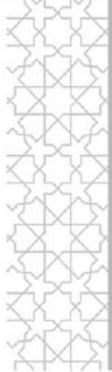
Time interval (hr)	Excess Rainfall (mm)	Unit Hydrograph Ordinates								Total Direct Runoff (m ³ /s)
		1	2	3	4	5	6	7	8	
		22.37	52.03	34.34	16.65	8.06	3.90	1.87	0.93	
N= 1	0.066	1.48								1.48
2	0.78	17.45	3.43							20.88
3	3.37	75.39	40.58	2.27						118.24
4	6.71	150.10	175.34	26.79	1.10					353.33
5	11.33	253.45	349.12	115.73	12.99	0.53				731.82
6			589.50	230.42	56.11	6.29	0.26			882.58
7				389.07	111.72	27.16	3.04	0.12		831.11
8					188.64	54.08	13.14	1.46	0.06	257.38
9						91.32	26.17	6.30	0.73	124.52
10							44.19	12.55	3.13	59.87
11								21.19	6.24	27.43
12									10.54	10.54
										Total = 3419.18

جدول ١٤ (ساعتان)

Time interval (hr)	Excess Rainfall (mm)	Unit Hydrograph Ordinates								Total Direct Runoff (m ³ /s)
		1	2	3	4	5	6	7	8	
		22.37	52.03	34.34	16.65	8.06	3.90	1.87	0.93	
N= 1	0.066	1.40								1.40
2	0.78	16.55	3.26							19.81
3	3.37	71.51	38.49	2.15						112.15
4	6.71	142.39	166.28	25.40	1.04					335.11
5	11.33	240.42	331.07	109.73	12.32	0.50				694.04
6			559.02	218.48	53.21	5.97	0.24			836.92
7				368.90	105.95	25.78	2.89	0.12		503.64
8					178.90	51.33	12.47	1.39	0.06	244.15
9						86.67	24.83	5.99	0.69	118.18
10							41.92	11.94	2.99	56.85
11								20.17	5.97	26.14
12									10.08	10.08
										Total = 2958.47

جدول ١٥ (٣ ساعات)

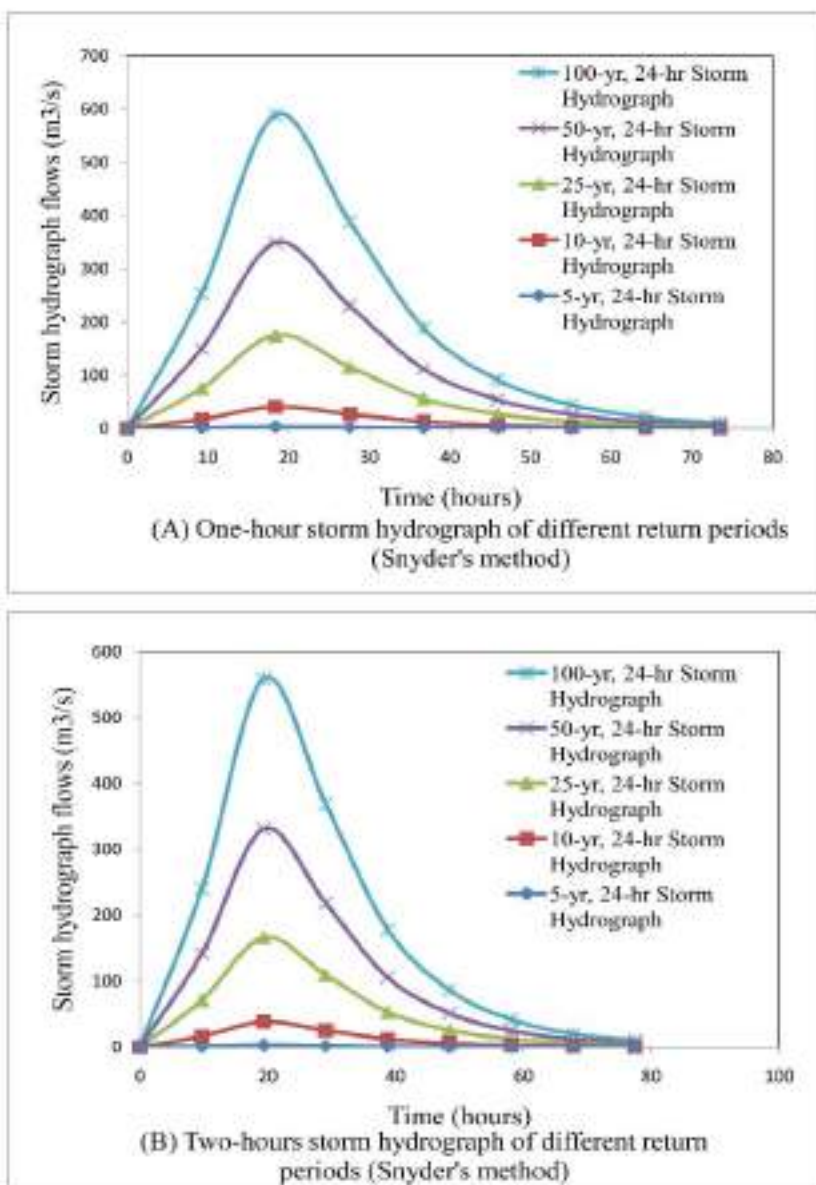
Time interval (hr)	Excess Rainfall (mm)	Unit Hydrograph Ordinates								Total Direct Runoff (m ³ /s)
		1	2	3	4	5	6	7	8	
		22.37	52.03	34.34	16.65	8.06	3.90	1.87	0.93	
N= 1	0.066	1.33								1.33
2	0.78	10.73	3.10							18.84
3	3.37	6.01	36.60	2.00						106.66
4	6.71	130.41	150.12	24.16	0.99					318.68
5	11.33	228.43	314.83	104.37	11.71	0.83				660.03
6			531.62	207.81	0.80	0.77	0.22			790.89
7				350.89	100.77	24.00	2.70	0.11		478.97
8					170.00	6.00	11.86	1.32	0.06	2232.08



Time interval (hr)	Excess Rainfall (mm)	Unit Hydrograph Ordinates								Total Direct Runoff (m³/s)
		1	2	3	4	5	6	7	8	
		22.37	52.03	34.34	16.65	8.06	3.90	1.87	0.93	
9						87.37	23.62	0.70	0.76	112.30
10							34.88	11.34	2.83	54.00
11								14.10	0.74	24.79
12									9.02	9.02
										Total = 2813.19

جدول (١٦)

Time interval (hr)	Excess Rainfall (mm)	Unit Hydrograph Ordinates (m³/s) (SCS method)								Total Direct Runoff (m³/s)
		1	2	3	4	5	6	7	8	
		10.28	23.91	15.78	7.65	3.71	1.79	0.86	0.43	
N= 1	0.066	0.68								0.68
2	0.78	8.02	1.58							9.60
3	3.37	34.64	18.65	1.04						54.33
4	6.71	68.98	80.58	12.31	0.50					162.37
5	11.33	116.47	160.44	53.18	5.97	0.24				336.30
6			270.90	105.88	25.78	2.89	0.12			405.57
7				178.79	51.33	12.50	1.40	0.06		244.08
8					86.67	24.89	6.03	0.67	0.03	118.29
9						42.03	12.01	2.90	0.34	57.28
10							20.28	5.77	1.45	27.50
11								9.74	2.89	12.63
12									4.87	4.87
										Total = 1433.50



شكل (١١) هيدروجراف لأمطار مدتها ساعة (A)، وأمطار مدتها ساعتين (B) تسقط على حوض وادي الوطاء في فترات رجوع مختارة (طريقة سنайдر)

شكل (١٢) هيدروجراف لأمطار مدتها ثلاث ساعات (A) (سنайдر)، وهيدروجراف العاصفة (B) (SCS) لخوض وادي الوطاء في فترات رجوع مختارة

يوضح الجدول التالي (رقم ١٧) والشكل (رقم ١٣) قيم تدفق الذروة لميدروجراف السيول (العاصفة) Storm hydrograph peak flows لخوض وادي الوطاء، والتي تم حسابها بناء على قيم الميدروجراف القياسي Synthetic Unit Hydrograph، وأقصى كميات أمطار يومية في فترات الرجوع المختارة بعد استقطاع نسبة الفاقد منها، ومن الجدول والشكل يتضح الآتي :

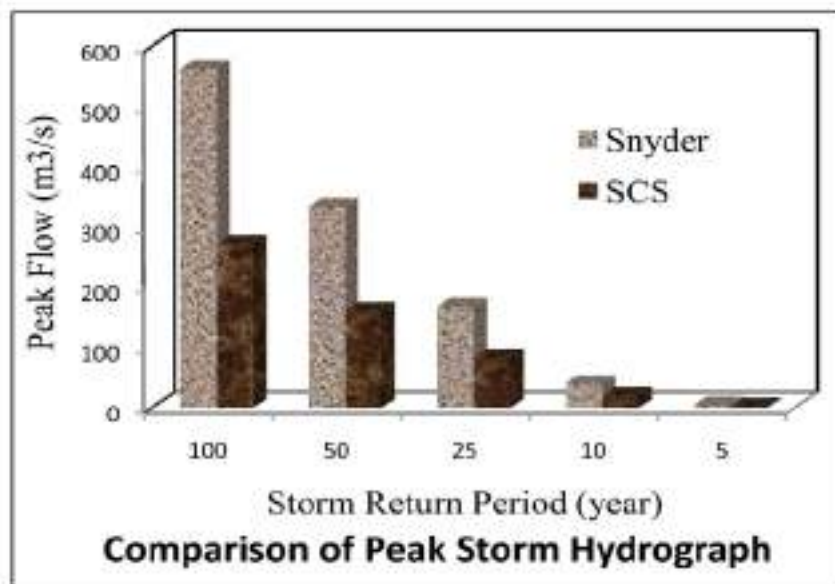
جدول (١٧) تدفق الذروة ($m^3/\text{ثانية}$) لميدروجراف أقصى كمية أمطار يومية محتملة السقوط على خوض وادي الوطاء في فترات الرجوع المختارة

الطريقة		فترات الرجوع المختارة لأقصى كمية مطر يومية				
		٥ سنوات	١٠ سنوات	٢٥ سنة	٥٠ سنة	١٠٠ سنة
Snyder	1-hr	٣,٤٣	٤٠,٨٠	١٧٥,٣٤	٣٤٩,١٢	٥٨٩,٥٠
	2-hr	٣,٢٦	٣٨,٤٩	١٦٦,٢٨	٣٣١,٠٧	٥٥٩,٠٢
	3-hr	٣,١٠	٣٦,٦٠	١٥٨,١٢	٣١٤,٨٣	٥٣١,٦٠
	المتوسط	٣,٢٦	٣٨,٥٦	١٦٦,٥٨	٣٣١,٦٧	٥٦٠,٠٤
SCS		١,٥٨	١٨,٦٥	٨٠,٥٨	١٦٠,٤٣	٢٧٠,٩٠

- يبلغ تدفق الذروة في وادي الوطاء المحسوب بنموذج سنайдر (Snyder's Model) في فترات الرجوع المختارة (٥ ، ١٠ ، ٢٥ ، ٥٠ ، ١٠٠ سنة) $3.26 \text{ m}^3/\text{ثانية}$ ، $38.56 \text{ m}^3/\text{ثانية}$ ، $166.58 \text{ m}^3/\text{ثانية}$ ، $331.67 \text{ m}^3/\text{ثانية}$ ، $560.04 \text{ m}^3/\text{ثانية}$ ، على التوالي.

-٢- يبلغ تدفق الذروة في وادي الوطاء المحسوب بنموذج الهيئة الأمريكية لخدمة صيانة التربة (SCS's Model) في فترات الرجوع المشار إليها ١,٥٨ م^٣/ثانية، ١٨,٦٥ م^٣/ثانية، ٨٠,٥٨ م^٣/ثانية، ١٦٠,٤٣ م^٣/ثانية، ٢٧٠,٩٠ م^٣/ثانية على التوالي.

-٣- جاءت قيم تدفق الذروة في وادي الوطاء المحسوبة بنموذج "سنайдر" ضعف قيم تدفق الذرة المحسوبة بنموذج الهيئة الأمريكية لخدمة صيانة التربة في كل فترات الرجوع المختارة، والحقيقة أن قيم تدفق الذروة المحسوبة بنموذج الهيئة الأمريكية أكثر واقعية، حيث يعتمد في حسابه على متوسط أقصى كمية مطر سقطت على الحوض في يوم واحد، بينما يعتمد نموذج "سنайдر" على بعض الخصائص المورفومترية للحوض، فضلاً عن اعتماده على قيمة كل معامل من هذين المعاملين (C_p & C_t) اللذان يعبران عن طاقة التسرب المائي في التربة والتكتونيات (النفادية) داخل الحوض، والسعنة التخزنية للحوض من المياه، والحدار سطح الأرض داخل الحوض، ولهذا فإن نقل قيمتي هذين المعاملين من أحواض المجاورة ومقاسة هييدرولوجيا، ولها أو تقاد نفس الخصائص الجيولوجية والمورفومترية للحوض موضوع الدراسة أمر ضروري في إحكام تقدير أحجام السيول باستخدام نموذج سنайдر.



شكل (١٣) قيم تدفق الذروة لهيدروجراف سيول وادي الوطاء المحسوبة بنموذج Snyder والمحسوبة بنموذج SCS

مناقشة وتحليل نتائج الدراسة المورفومترية والهيدرولوجية لخوض وادي الوطاء

توصلت الدراسة المورفومترية والهيدرولوجية لخوض وادي الوطاء إلى عدد من النتائج يمكن مناقشتها على النحو الآتي:

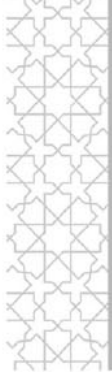
- ١- بلغت مساحة حوض وادي الوطاء $554,50$ كيلومترا مربعا، في حين بلغ طوله من المنابع إلى المصب (مخرج الوادي) 51 كيلومترا، بينما بلغ طول المجرى الرئيس من المصب وحتى خط تقسيم المياه عند المنابع $72,94$ كيلومترا، أما طول المجرى الرئيس من المصب وحتى نقطة تقرب من مركز

التقل الحوضي بلغ ٤٥,٥٠ كيلومتراً، ويبدو أن هذه الأبعاد أكسبت الحوض شكلاً طولياً، حيث بلغت استدارته ٠,٢٢ ، بينما بلغت استطالته ٠,٢٦ ، وانعكس ذلك على بطء استجابة الحوض لأحداث المطر، وزيادة زمن التركيز، الأمر الذي يرفع من معدل الفاقد من مياه الأمطار داخل الحوض، ويحد من خطورة أوديته.

٢ - بلغت التضاريس الكلية لحوض وادي الوطاة ٢٥١ متراً، بينما بلغت نسب التضاريس، والتضاريس النسبية، ورقم الوعورة ،٠,١٤ ، ٣,٥٥ على التوالي، وتعكس تلك القيم ضعف اخدار سطح الأرض داخل الحوض، وبصفة خاصة في قطاعه الأوسط والأدنى، ونتيجة لذلك تنخفض سرعة الجريان المائي، ويزداد زمن الاستجابة والتركيز، وبالتالي يتسبب ذلك في ضعف التصريف وطاقة الجريان في الأوقات التي يستقبل فيها الحوض أمطاراً عادية.

٣ - بلغن قيم التكامل الهيسومترى لحوض وادي الوطاة ٦٤٪، أي أنه أزال بالنحت والتعرية ٣٦٪ فقط من المادة الصخرية في حوضه، وتعكس هذه النتيجة (خاصة إذا ما تم تعزيزها بقيم تضاريس الحوض) وجود مناطق واسعة داخل الحوض لما تتحدد وتتحول إلى منحدرات، فضلاً عن كثرة الكتل والحافات الصخرية داخل الحوض.

٤ - تفاوتت كثافة التصريف على مستوى رتب المجاري، حيث تراوحت بين ٢,٠٢ - ٤,٥٩ كم^٢/كم^٣، بمتوسط عام بلغ ٣,٣٣ كم^٢/كم^٣، وهي بشكل عام كثافة منخفضة تعكس خشونة النسيج الطبوغرافي للحوض رغم قلة الغطاء النباتي، بينما تراوحت قيم تكرارية المجاري بين ٤,٥٠ - ٠,٠٤



رافد/كم٢ ، بمتوسط عام بلغ ١.٨٨ رافد/كم٢ ، وهو أيضاً بشكل عام تكرار منخفض يأتي تعزيزاً لانخفاض كثافة التصريف ، ولا شك في أن تلك النتائج وثيقة الصلة بالخصائص الهيدرولوجية للحوض ، وأغلب الظن أن مياه الأمطار تجري فوق الأسطح في شكل فيضانات غطائية ، وبالتالي تستغرق وقتاً طويلاً حتى تصادف مجاري مائية ، وتحت تأثير عامل الوقت تفقد المياه جزءاً كبيراً منها عن طريق التسرب داخل التربة ، وبالتالي تقل قيمة الفعلية ، وينعكس ذلك على زمن الاستجابة والتركيز.

- ٥- بلغ زمن استجابة الحوض (المحسوب بنموذج سنایدر) ١٨.٢٠ ساعة ، بينما بلغ زمن الاستجابة لهيدروجراف ساعة ، و ساعتين ، وثلاث ساعات ١٨.٣٧ ، ١٩.٣٧ ، ٢٠.٣٧ ساعة على التوالي ، في حين بلغ حجم المياه في ذروة التصريف ٥٢.٠٣ م٣ / الثانية لهيدروجراف ساعة ، ٤٩.٣٤ م٣ / الثانية لهيدروجراف ساعتين ، ٤٦.٩٢ م٣ / الثانية لهيدروجراف ثلاثة ساعات .

- ٦- بلغ زمن التركيز لحوض وادي الوطاء (المحسوب بنموذج SCS) ٣٢.١٤ ساعة ، بينما بلغ زمن الوصول إلى ذروة التصريف ٢١.٤٢ ساعة ، ويبلغ حجم المياه في ذروة التصريف ٢٣.٩١ م٣ / الثانية .

والملاحظ أن حجم المياه في ذروة تصريف وادي الوطاء للهيدروجراف القياسي المصمم بنموذج سنایدر جاء تقريباً ضعف حجم المياه في ذروة التصريف للهيدروجراف القياسي المصمم بنموذج SCS ، ورغم ذلك قد لا تبتعد هذه النتائج في الحالتين عن الواقع ، ويمكن الاعتماد عليها في حساب متغيرات هيدروجراف السيول الفعلية التي يدفعها وادي الوطاء في أعقاب

العواصف الممطرة التي تعد أهم حدث مناخي في البيئات الجافة. وللمقارنة فإن تصريف نهر الفرات عند الحدود السورية التركية يبلغ $500 \text{ م}^3/\text{ثانية}$ ، بينما يصل تصريف النيل الأبيض عند الخرطوم إلى $1040 \text{ م}^3/\text{ثانية}$.

* * *

الخاتمة

تجدر الإشارة إلى أنه إذا سقطت أمطار في يوم واحد تساوى أو تقل عن ٢٩.٨٣ مم لن ينبع عنها جريان سطحي في حوض وادي الوطاء ، وربما أيضا أحواض معظم الأودية في منطقة القصيم ، وتضع تلك النتيجة تفسيراً لعدم جريان الأودية في بعض الأوقات رغم سقوط الأمطار ، والآن بات معلوماً أن أي كمية مطر تساوى أو تقل عن الكمية المشار إليها ثُنفَقَ بالتسرب داخل تربة الحوض وتكويناته في إطار ما يعرف باسم **Initial abstraction** وبالتالي لا ينبع عنها جريان سطحي ينتهي إلى مخرج الوادي ، ولهذا فإن مجرد خروج المياه من مخارج أودية القصيم ، قد يعني أن أحواضها استقبلت أمطار تجاوزت الكمية المذكورة. وادي الوطاء متوازناً جيومورفولوجيًّا وهيدرولوجيًّا ، ولا يبدو ذو خطورة حال جريانه المعتمد ، حيث أن السيول تأخذ وقتاً طويلاً في التحول من منابعه إلى مصبها ، وهذا يكمنها من التسرب (معظم الصخور والتكونيات داخل الحوض عالية المسامية والنفاذية ويفلغب عليها التفصيم والتخلع) وكذلك البخر ، من هنا يمكن القول أن قيمتها الفعلية تقل ، وفي ضوء ما ذكر تتوقع الدراسة الحالية وجود كميات لا بأس بها من المياه تحت السطحية القريبة من السطح ، وترتُّكَد أنه يحسن استغلالها والاستفادة منها في المجالات التنموية ، كما توصي هذه الدراسة بعدم وجود حاجة لإقامة مصدات مائية أو سدود خرسانية على مجاري الودي في أي موقع أو قطاع منه ، لأنها سوف تصبح بدون جدوى ولا فائدة.



مراجع عربية :

- الدغيري، أحمد عبدالله ، العوضي، حمدية عبد القادر ٢٠١٣ : التطور الجيومورفولوجي والتحليل المورفومترى لخوض وادي السهل بمنطقة القصيم ، الجمعية الجغرافية الكويتية، الكويت ، العدد ٣٨٨.
- الدغيري، أحمد عبد الله، الوهبي، آلاء عبد الله ٢٠١٦ : التحليل الجيومورفولوجي لخوض وادي النساء باستخدام تقنيات الاستشعار عن بعد ونظم المعلومات الجغرافية ، مجلة العلوم العربية والانسانية ، عد ٩ رقم ٢.
- العوضى، حمدى عبد القادر (٢٠٠٢) أحواض التصريف بخوض المدينة المنورة، المملكة العربية السعودية – دراسة جيومورفولوجية ، إصدارات مجلة كلية الآداب، جامعة الإسكندرية.
- بوروبيه، محمد (٢٠٠٧) دراسة هيدروموريومترية لتقدير حجم سيل حوض وادي عتود بالمملكة العربية السعودية، سلسلة الإصدارات الخاصة، عدد (٢١)، مركز دراسات الخليج والجزيرة العربية، الكويت.
- سلامة، حسن رمضان (١٩٨٠) التحليل الجيومورفولوجي للخصائص المورفومترية للأحواض المائية بالأردن ، دراسات ، العلوم الإنسانية ، مجلد ٧ ، عدد ١ ، ص .٩٧ - ١٣٢.
- شاور، آمال إسماعيل (١٩٨٢) التعبير الكمي لدورة التعرية عند دافيز ، مع التطبيق على بعض الأودية في مصر ، المجلة الجغرافية العربية ، العدد الرابع عشر، ص .٣٩ - ٨٠

مراجع غير عربية :

- Al Dughairi , A. , 2011: Late Quaternary Palaeoenvironmental Reconstruction in the Burydah area , Central Saudi Arabia , PhD. thesis submitted to University of Leicester.UK
- Arora, K.R. (2004): Irrigation, Water Power and Water Resources Engineering, Standard Publishers Distribution, Delhi, pp. 96- 99.
- Cooke, R.U. and Warren, A. (1975) Geomorphology in Desert. Second Edit. London, p. 155.
- Fleitmann, D., Matter, A., Pint, J., Al Ahanti, M. 2004: The Speleothem record of climate change in Saudi Arabia.Suadi Geological survey. Riyadh.
- Glock, W.S. (1931): The Development of Drainage Systems: A Synoptic View, Geogr. Rev., 21, pp. 74- 83.
- Gregory, K.J. and Walling, D.E. (1973): Drainage Basin: Form and Process- A Geomorphological Approach. (John Willey), New York, pp. 39- 51.
- Hails, J.R. (1977): Applied Geomorphology, Amsterdam, p. 123.
- Horton, R.E. (1932): Drainage Basin Characteristics. Am. Geophys. Union, Trans. 13, pp. 348- 352.

- Horton, R.E. (1945): Erosional Development of Streams and Their Drainage Basins. Hydrophysical Approach to Quantitative Morphology. Bulletin of the Geological Society of America 56, 275-370.
- Howard, R.D. (1967): Drainage Analysis in Geologic Interpretation a Summation of American Association of Petroleum Geologists, Bull. Vol. 5, No. 11, pp. 2246- 2259.
- Manivit ,J. ,Denis ,V. ,Alain ,B. ,Paul ,L. and Jackie ,F. , 1986: Explanatory notes to the geologic map of the Burydah Quadrangle ,Sheet 26G. Kingdom of Saudi Arabia ,Ministry of petroleum and Mineral Resources Saudi Arabia.
- Miller, V.C. (1953): A Quantitative Geomorphic Study of Drainage Basin Characteristics in the Clinch Mountain Area, Varginia and Tennessee. Project. 3, Columbia University, Department of Geology, ONR, Geography Branch, New York.
- Morisawa, M. (1985): Rivers: Form and Process, New York, P. 151.
- Ogunlela, A.O. and Kasali, M.Y. (2002): Evaluation of Four Methods of Storm Hydrograph Development for an Ungaged Watershed. Published in Nigerian Journal of Technological

Development. Faculty of Engineering and Technology, University of Ilorin, Ilorin, Nigeria. (2), pp. 25- 34.

- Ramirez, J.A. (2000): Prediction and Modelling of Flood Hydrology and Hydraulics. Chapter 11 of Inland Flood Hazards: Human, Riparian and Aquatic Communities. Edited by Ellen Wohl; Cambridge University Press.
- Ritter, D.F.; Kochel, R.C. and Miller, J. R. (1995): Process Geomorphology. Third Edit. London. pp. 240- 246.
- Saad, K.F.; El-Shamy, I.Z. and Sweiden, A.S. (1980) :Quantitative Analysis of the Geomorphology and Hydrology of Sinai Peninsula, Annals of Geol. Surv. of Egypt, Vol.10, pp. 819- 836.
- Salami, A.W. (2009): Evaluation of Methods of Storm Hydrograph Development. International Egyptian Engineering Mathematical Society, IEEMS, Zagazig Univ. Pub. Vol. (6), pp. 17- 28.
- Schumm, S.A. (1956): Evolution of Drainage Systems and Slopes in Badlands at Perth Amboy, New Jersey. Geol. Soc. Am. Bull.67, pp. 597- 646.

- SCS (2000, 2002): Soil Conservation Service. Design Hydrographs. US Department of Agriculture, Washington, D.C.
- Small, R.J. (1989): Geomorphology and Hydrology. Long. London & New York, pp. 47- 49.
- Strahler A.N. (1957) :Quantitative Analysis of Watershed Geomorphology. Am. Geophysics. Union Trans. Vol. 38, p. 20.
- Sule, B.F. and Alabi, S.A. (2013): Application of Synthetic Unit Hydrograph Methods to Construct Storm Hydrographs. International Journal of Water Resources and Environmental Engineering. Vol. 5(11), pp. 639- 647.
- Viessman, W.Jr. (2008): Introduction to Hydrology, Prentice-Hall of India Private Ltd, New Delhi.
- Viessman, W.Jr., Knapp, J.W. and Lewis, G.L. (1989): Introduction to Hydrology. Harper and Row Publishers, New York.
- Wurbs, R.A. and James, W.P. (2010): Water Resources Engineering, PHI Learning Private Ltd, New Delhi.

* * *

- Shawir, I. (1982). Al-ta`bīr al-kammī li-dawrat al-ta`riya `ind dāfīz ma` al-taTbīq `alā ba` dh al-awdiya fī misr. *Arabian Geographic Journal*, (14), 39-80.

* * *

Arabic References

- Al-`Awadhī, `A (2002). Ahwād al-taSrīf bi-hawdh al-madīna al-munawara bil-mamlaka al-`Arabiyya al-Su`ūdiyya: Dirāsa jiūmorfolojiyya. *Journal of College of Literature at Alexandria University*.
- Al-Dughairī, A. & Al-`Awadhī, `A (2013). Al-tawur al-jiūmorfolojī wa al-tahlīl al-morfomitrī li-hawdh wādī al-sahl bi-mantiqat al-qasīm. *Geographical Society of Kuwait*, (338).
- Al-Dughairī, A. & Al-Wuhāibī, A (2016). Al-tahlīl al-jiūmorfolojī li-hawdh wādī al-nisā- bi-istikhdām tiqniyāt al-istish`ār 'an bu`d wa nuzhum al-ma`lūmāt al-jughrāfiyya. *Journal of Arabic and Human Sciences*, 2(9).
- Būrawba, M. (2007). Dirāsa hīdrūmorphomitriyya li-taqdīr hajm suyūl hawdh wādī `itūd bil-mamlaka al-`Arabiyya al-Su`ūdiyya. *Center of Gulf and Arabian Peninsula Studies*, (21).
- Salāma, H. (1980). Al-tahlīl al-jiūmorfolojī lil-khasā is al-morfomitriyya lil-ahwādh al-mā`iyya bil-urdun. *Dirāsāt: Al-'Ulūm Al-Insāniyya*, 7(1), 97-132.

Hydro-morphometric Analysis and Estimation of Torrents in the Basin of Al-WaTah Valley in Al-Qassim Region

Dr. Ahmad Al-Dughairi

Department of Geography

Collage Of Arabic Language and
Social Studies
Al-Qassim University

Dr. Hamdeno A. Al-Awadi

Department of Geography

Collage Of Arabic Language and
Social Studies
Al-Qassim University

Abstract:

Al-Qassim region receives heavy rainfall at certain times. Consequently, the valleys flow at full capacity, which poses a real threat to urbanization, roads and some of the facilities located on their way. Al-WaTah valley is considered as one of Al-Qassim's valleys that are capable of converting rainfall into large floods. This is what has already happened in the past years, when the waters of Al-WaTah valley overflowed into Ar-Rummah valley. It then became a source of danger after its lower course was blocked because it was covered with sand resulting from the effect of the wind. Moreover, the urban area of Buryadah City has expanded Northwards and Eastwards and occupies now part of the course of the valley. Thus, a hydro-morphometric study to estimate the volume of the floods of Al-WaTah valley after rainfall is necessary to determine the extent of their danger, to enable officials and decision-makers to protect the city from this danger, and discuss ways to benefit from the floods water. The present study is based on Snyder's Model and on the American Soil Conservation Serves (SCS) in calculating the standard hydrograph values of the valley basin. The unit hydrographic ordinates were used to calculate the variables and values of storm hydrograph based on the actual data of the maximum daily rainfall recorded by Buraidah station in 45 years (from 1965 to 2009) and based on an estimation of the maximum amount of expected daily rainfall on the basin in the selected reference periods (5, 10, 25, 50, 100 years), in order to calculate or estimate the water volume which the valley flows through its outlet in the form of torrents. The study shows that the peak flow in Al-WaTah valley calculated by Snyder's Model in the selected reference periods (5, 10, 25, 50, 100 years) was $3.26 \text{ m}^3/\text{s}$, $38.56 \text{ m}^3/\text{s}$, $166.58 \text{ m}^3/\text{s}$, $331.67 \text{ m}^3/\text{s}$, $560.04 \text{ m}^3/\text{s}$, respectively. On the other hand, the peak flow in Al-Watah valley calculated by the American SCS model in the selected reference periods was $1.58 \text{ m}^3/\text{s}$, $18.65 \text{ m}^3/\text{s}$, $80.58 \text{ m}^3/\text{s}$, $160.43 \text{ m}^3/\text{s}$, $270.90 \text{ m}^3/\text{s}$, respectively.

Keywords: Unit hydrograph, Storm hydrograph, Watershed, Morphometric analysis, Hydrologic analysis.